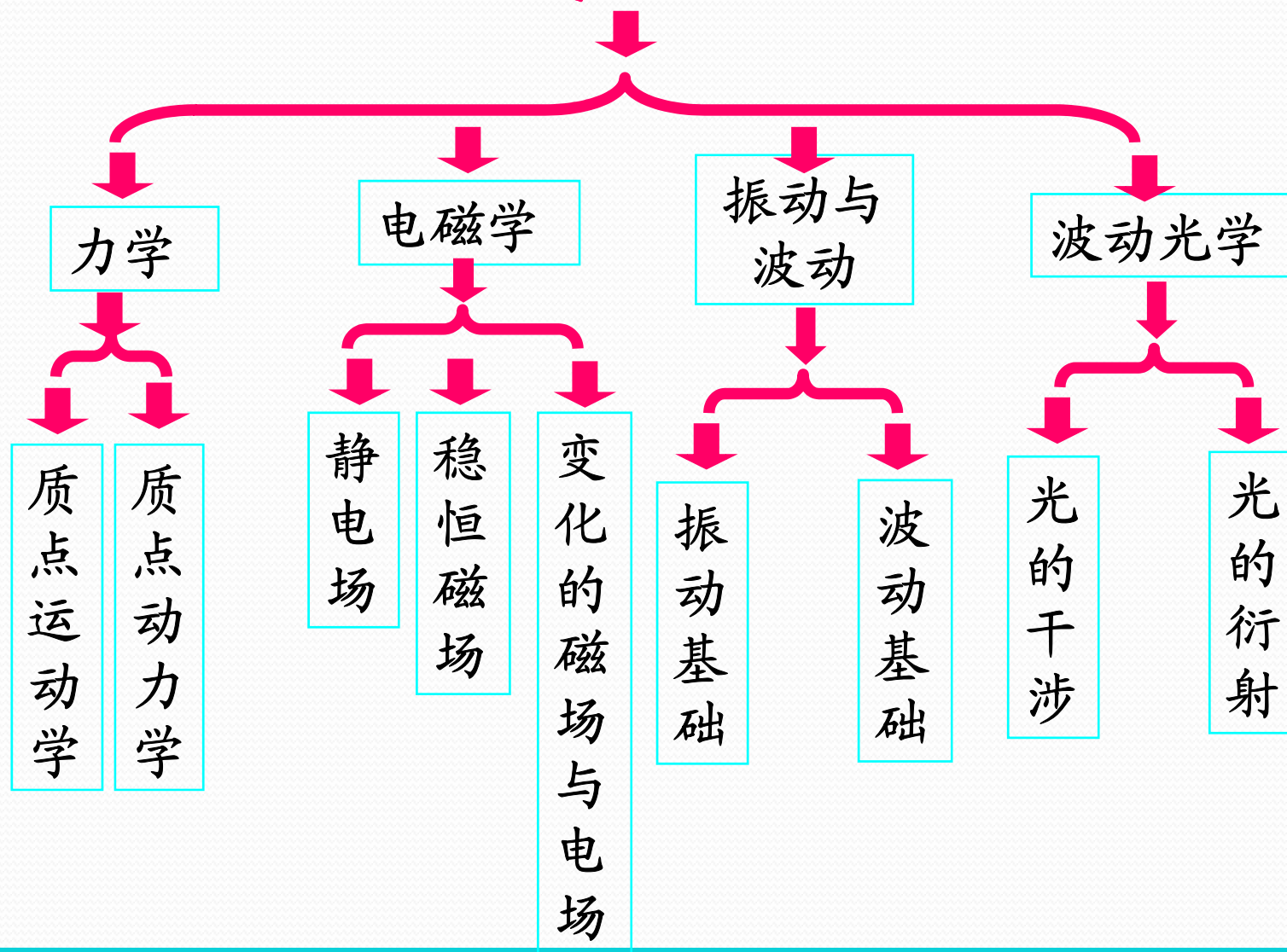




大学物理

期末总复习

大学物理



(一) 各部分复习要点:

第一部分 经典力学 (1、2章)

1. 以守恒量 \vec{p} , \vec{L} , E 为中心:

动量定理, 角动量定理, 动能定理

动量、角动量、机械能守恒条件,

应用守恒定律解题 (对综合题划分阶段求解)。

2. 注意在中学基础上的加深和扩展,

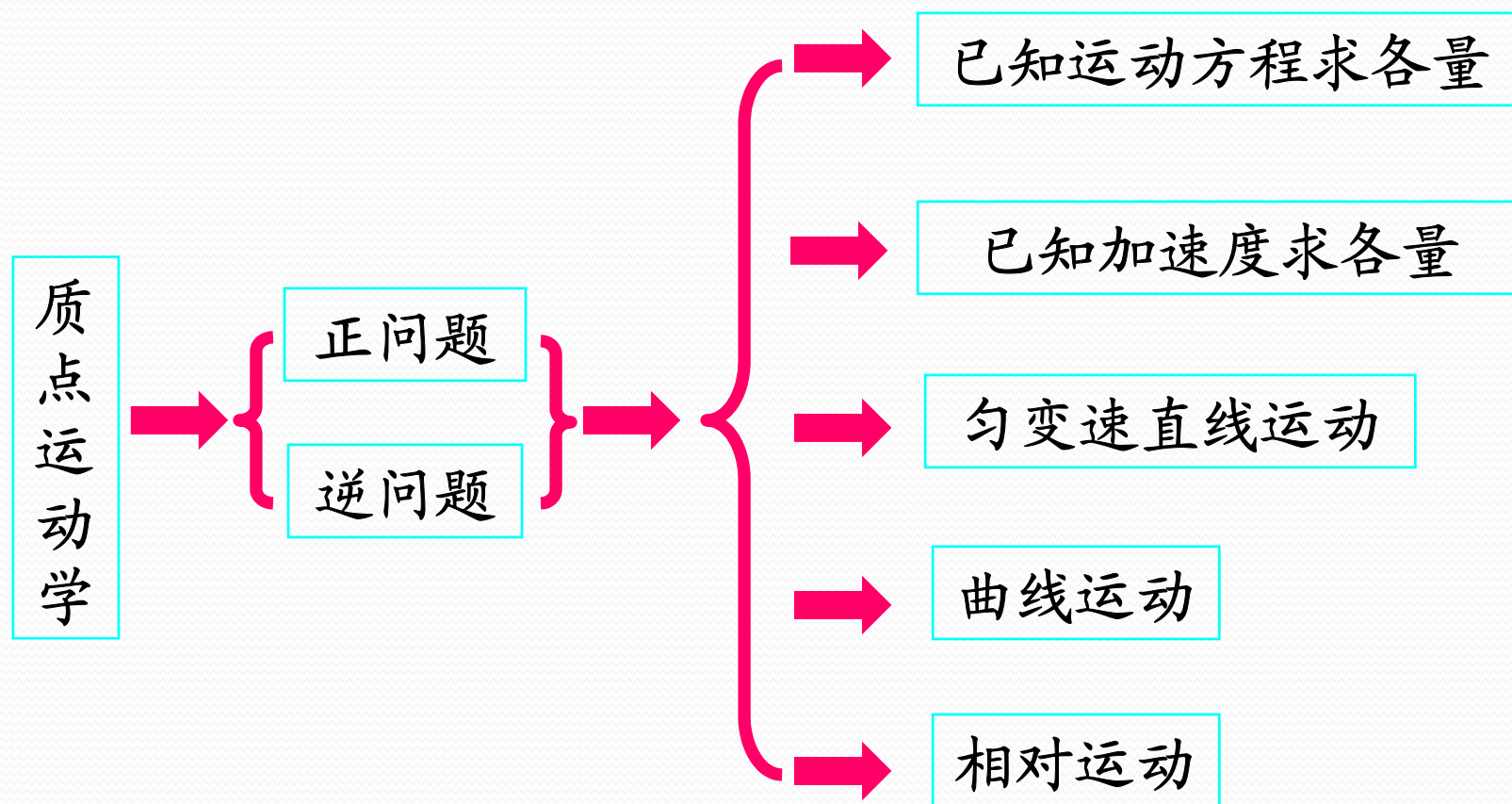
例如: 运动学的两类基本问题, 变力作用下物体的运动规律,

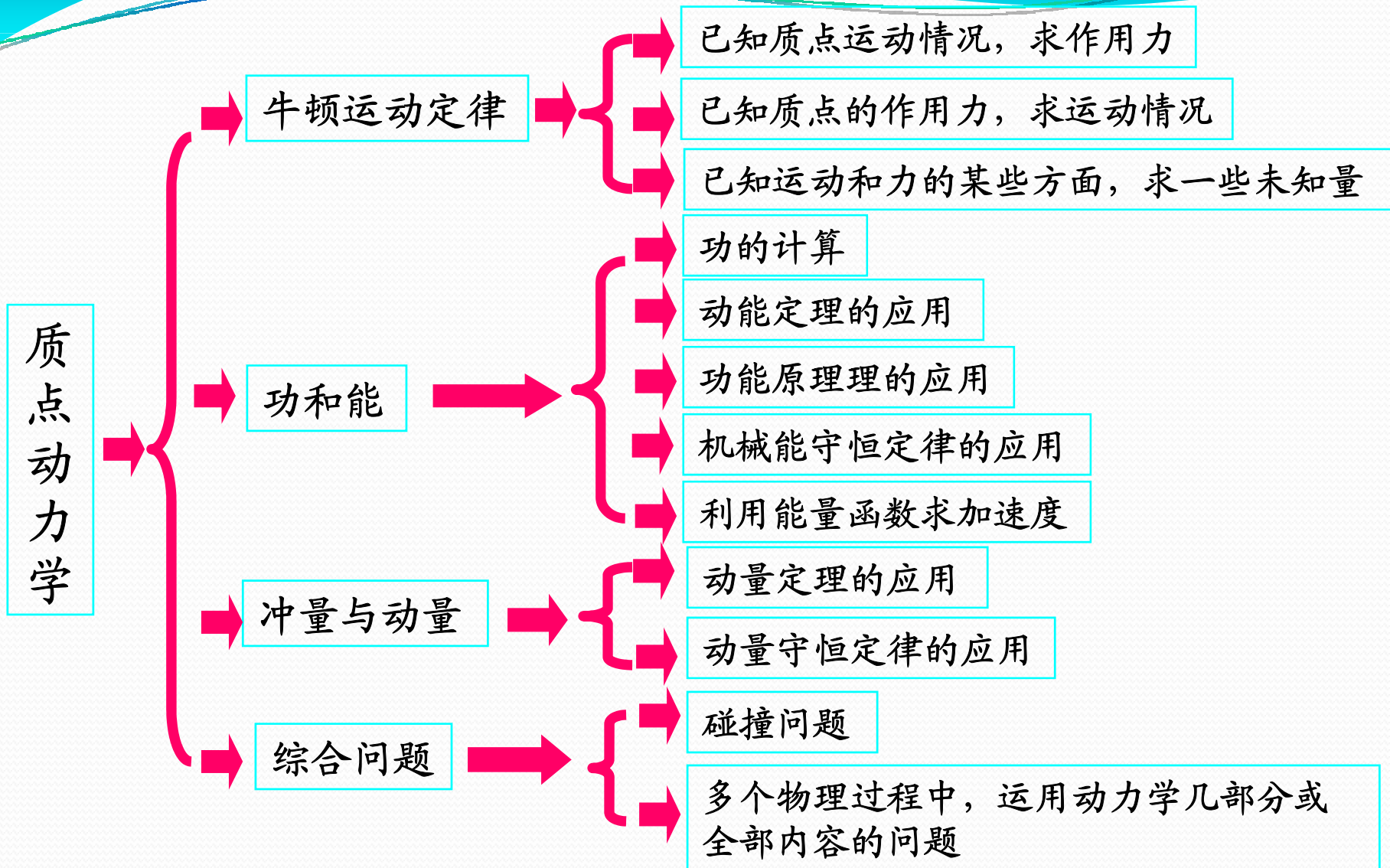
变力的冲量、变力的功的计算,

保守力及其与相关势能的关系,

角动量、力矩

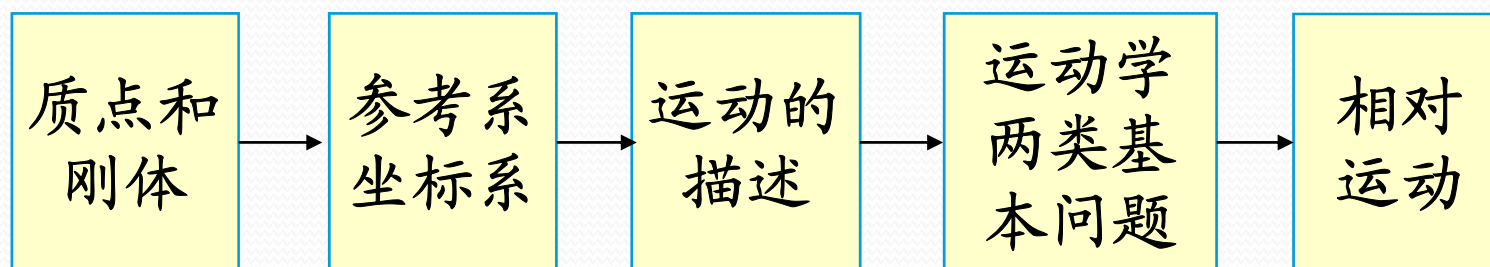
习题类型





第1章 质点运动学

结构框图



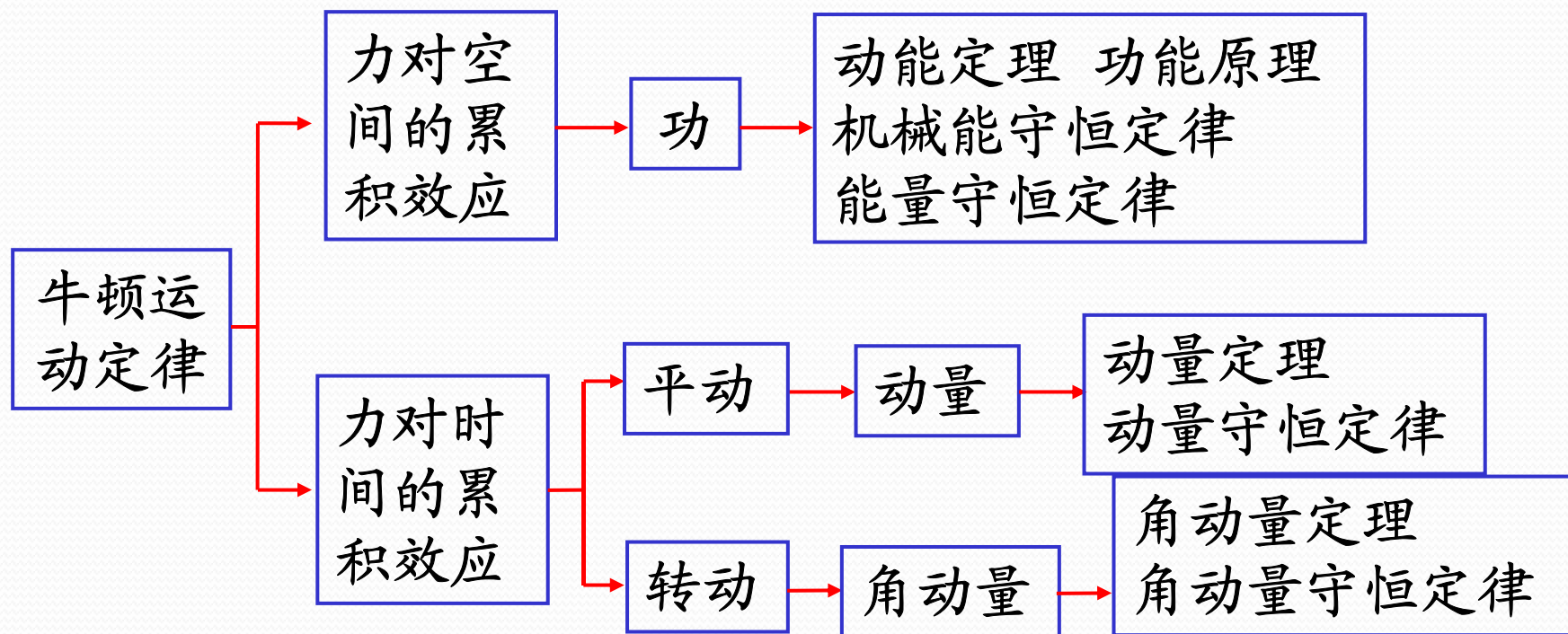
重点:

1. 模型: 质点、质点系、刚体
2. 概念: 位矢、位移、速度、加速度;
角位置、角位移、角速度、角加速度;
3. 计算: 运动学的两类基本问题

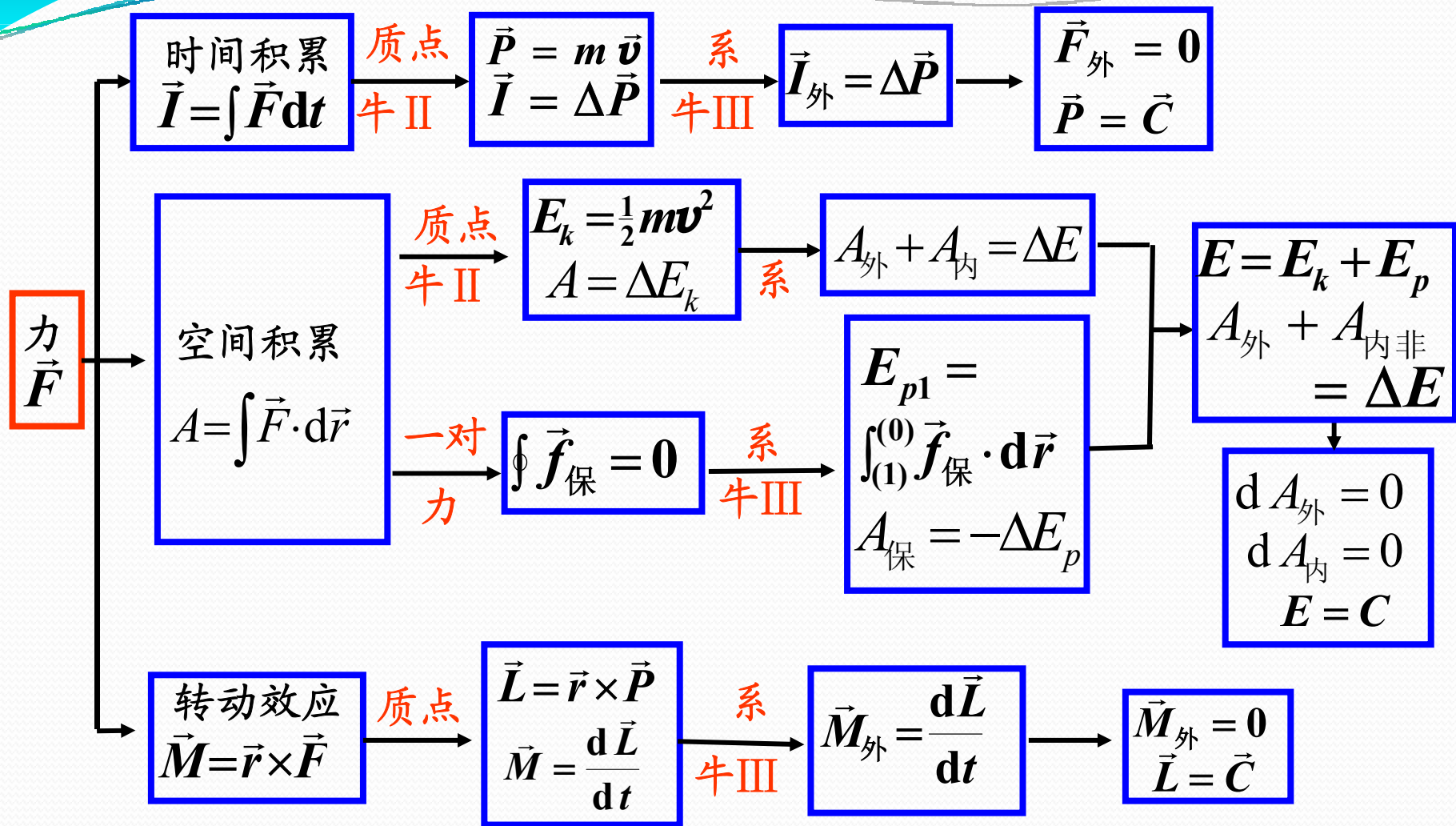
难点: 相对运动

第2章 质点力学

结构框图



特点：牛顿三定律是基础，守恒量和守恒定律为中心。



要搞清各规律的内容、来源、适用对象、成立条件、对参考系的依赖关系。

二、解题思路

1、求解运动学问题的一般步骤为：

1) 首先要审清题思目所叙述的物理内容、物理过程，给出了那些条件？要解决什么问题？属于那一类型问题？

2) 根据题意和运动学知识分析质点做何种运动（直线、曲线、匀变速运动还是非匀变速运动？有无相对运动等），粗略抓住其运动特点，进而在此基础上，合理（最方便）建立坐标系。

3) 建立所需的方程或方程的分量式，若方程数少于未知量数，则要从物理上的其它规律或数学几何关系上寻找辅助方程，以满足求解条件，然后进行科学计算。一般是**先进行文字运算，最后代入数据**，并注意单位统一和科学记数法。

4) 必要时进行适当的分析与讨论。

2、牛顿运动定律的应用

解题基本思路：合理确定研究对象，准确分析研究对象的受力情况，从而判断它的动力学特征，并以研究对象的力学特征为依据建立方程。此外，因牛顿定律研究的对象是质点，但在实际问题中，孤零零的一个物体是没有的，常常是许多物体相互联系在一起，对这样一个系统，在应用牛顿定律时，经常采用的方法是隔离体法，即把研究对象隔离开来进行受力分析，具体解题的一般步骤如下：

- (1) 审清题意，明确物理过程，合理确定研究对象，并视方便将它们分别隔离开来；
- (2) 分析研究对象的受力情况，将这些力标在隔离体图上；
- (3) 根据运动过程的特点，描述运动状态的变化，即定性地确定研究对象的加速度；
- (4) 选取坐标系或规定正方向，列出方程并检查方程的个数是否与未知数的个数相同，然后联立方程求解该方程组；
- (5) 必要时进行适当的分析与讨论。

3、动量定理与动量守恒定律的应用

在应用动量定理时应注意：*a.* 动量定理的数学表达式是矢量式，具体计算时多用投影式；*b.* 动量定理不仅可应用于作用时间十分短暂的问题，也可以应用于作用时间较长的问题（或整个运动过程）。在应用动量守恒定律时，必须注意该定律的适用条件：即系统不受外力或受合外力为零，若合外力不为零，则这一方向的动量守恒；此外，该定律数学表达式中的所有速度都是对同一惯性系而言的，具体解题的一般步骤如下：

- (1) 审清题意，明确物理过程，据此确定研究对象（可以是单个物体，也可以是系统）；
- (2) 分析研究对象的受力情况，画出受力图，并按所划分的系统分清内力和外力；
- (3) 描述外力作用过程的始末运动状态，判断力学特点；
- (4) 适当选取坐标系；

(5) 根据坐标轴方向上的合外力是否为零的特征，建立动量定理方程(合外力不为零)，或动量守恒定律方程(合外力为零)，并求解方程；

(6) 必要时进行适当的分析、讨论。

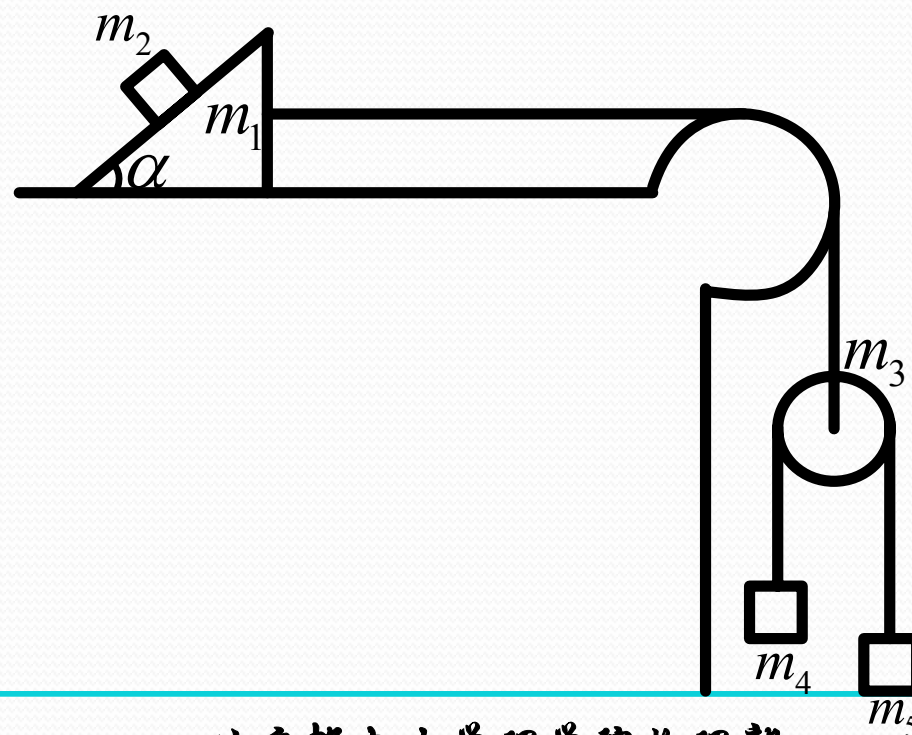
4、功和能概念与规律的应用

在应用时应注意：*a.* 变力做功问题，必须学会采用微元法——物理学普遍使用的一种研究方法；*b.* 质点和质点系都可以利用动能定理计算，但功能原理和机械能守恒定律只能对质点系适用；*c.* 应用动能定理时，要计算作用在系统上所有力的功，但在初末态的能量计算中，只计算动能；而应用功能原理时，只要计算外力和非保守内力的功，不考虑保守内力的功，但在初末态的能量计算中，却必须同时记入动能与势能；*d.* 同一问题中，各项动能的计算应对同一惯性系而言，各项势能应选择统一的、合适的参考零点，具体解题的一般步骤如下：

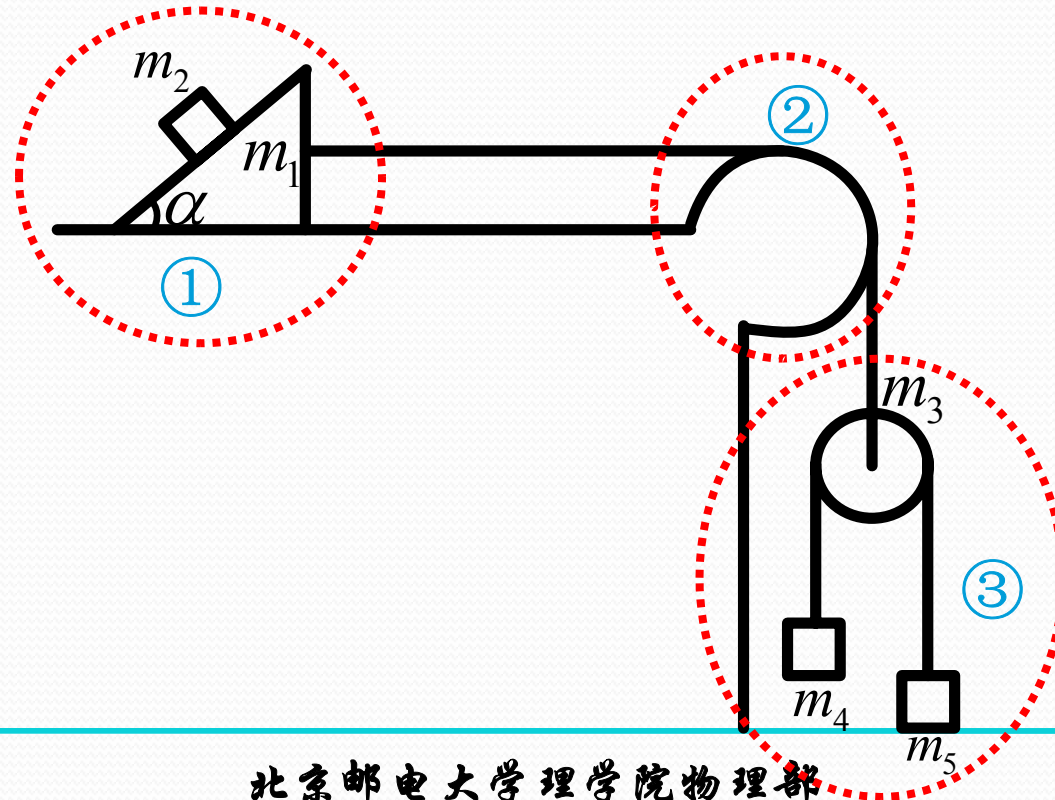
一般解题步骤:

- (1) 审清题意，明确物理过程，根据所求问题和解题方便确定研究对象或合理划分研究系统；
- (2) 分析研究对象的受力情况，判断系统的功能关系特点；
- (3) 确定系统始末状态和势能零点；
- (4) 根据系统的功能关系特点，建立相应的方程，并求解方程；
- (5) 必要时进行适当的分析、讨论。

例 光滑水平桌面上有质量为 m_1 的三角状物体，其左侧面的坡度为 α ，上面压着质量为 m_2 、表面光滑的物块； m_1 右侧与水平的轻绳相连，该绳在粗糙的圆弧面（大于半圆）上，右端吊着质量为 m_3 的滑轮，绳与弧面之间的摩擦系数为 μ ；滑轮上也跨有一轻绳，该绳的两端分别吊着质量为 m_4 和 m_5 的物体，绳与滑轮的边缘之间无摩擦。试问：水平绳中的张力和桌面向 m_1 提供的支持力分别为多少？



例 光滑水平桌面上有质量为 m_1 的三角状物体，其左侧面的坡度为 α ，上面压着质量为 m_2 、表面光滑的物块； m_1 右侧与水平的轻绳相连，该绳在粗糙的圆弧面（大于半圆）上，右端吊着质量为 m_3 的滑轮，绳与弧面之间的摩擦系数为 μ ；滑轮上也跨有一轻绳，该绳的两端分别吊着质量为 m_4 和 m_5 的物体，绳与滑轮的边缘之间无摩擦。试问：水平绳中的张力和桌面向 m_1 提供的支持力分别为多少？



系统1: 建立如图坐标系

m_1 的运动方程:

$$m_1 a_{1x} = T_1 + N_{12} \sin \alpha$$

$$m_1 a_{1y} = F - N_{12} \cos \alpha - m_1 g$$

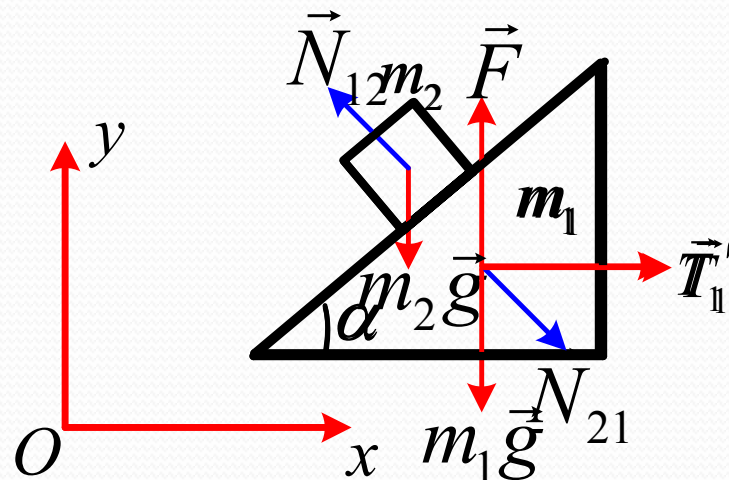
m_2 的运动方程:

$$m_2 a_{2x} = -N_{12} \sin \alpha$$

$$m_2 a_{2y} = N_{12} \cos \alpha - m_2 g$$

m_1 受到水平桌面的约束, 在竖直方向上无运动, 约束方程为:

$$v_{1y} = 0 \quad \Rightarrow \quad a_{1y} = 0$$



系统1:

$$m_1 a_{1x} = T_1 + N_{12} \sin \alpha$$

$$m_1 a_{1y} = F - N_{12} \cos \alpha - m_1 g$$

$$m_2 a_{2x} = -N_{12} \sin \alpha$$

$$m_2 a_{2y} = N_{12} \cos \alpha - m_2 g$$

$$a_{1y} = 0$$

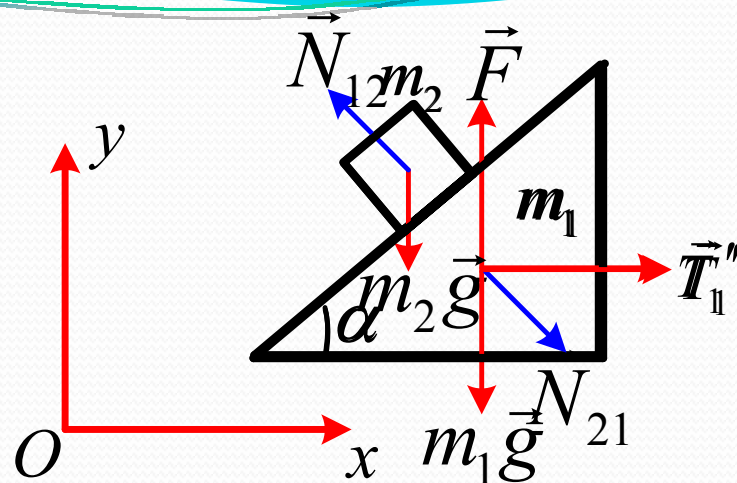
m_2 受到 m_1 的约束, 约束方程为:

$$\frac{v_{2y} - v_{1y}}{v_{2x} - v_{1x}} = \tan \alpha \quad \Rightarrow \quad \frac{a_{2y} - a_{1y}}{a_{2x} - a_{1x}} = \tan \alpha$$

由以上六式可得:

$$F = m_1 g + m_2 g \cos^2 \alpha - m_2 a_{1x} \sin \alpha \cos \alpha \quad (1)$$

$$T_1 = -m_2 g \sin \alpha \cos \alpha + (m_1 - m_2 g \sin^2 \alpha) a_{1x} \quad (2)$$



系统2

在绳上取一任意的线元，使之对应于 $\theta \sim \theta + d\theta$ ，受力分析如图所示。

径向运动方程：

$$N - T \sin \frac{d\theta}{2} - (T + dT) \sin \frac{d\theta}{2} = 0$$

横向运动方程：

$$(T + dT) \cos \frac{d\theta}{2} - T \cos \frac{d\theta}{2} - f = 0$$

忽略高阶无限小量，得：

$$N - T d\theta = 0 \quad dT - f = 0 \quad f = \mu N$$

以上三式联立得：

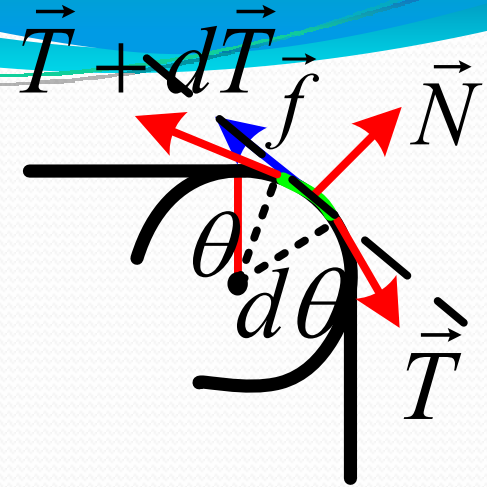
$$\frac{dT}{T} - \mu d\theta = 0$$

利用初始条件，积分得： $T = T_1 e^{\mu\theta}$

所以

$$T_2 = T_1 e^{\frac{\mu\pi}{2}} \quad (3)$$

北京邮电大学理学院物理部



系统3

受力分析如图，并建立如图坐标系。

$$m_3 a_{3y} = T_2' - T' - T'' - m_3 g$$

$$m_4 a_{4y} = T' - m_4 g$$

$$m_5 a_{5y} = T'' - m_5 g$$

由于绳与动滑轮之间无摩擦，有

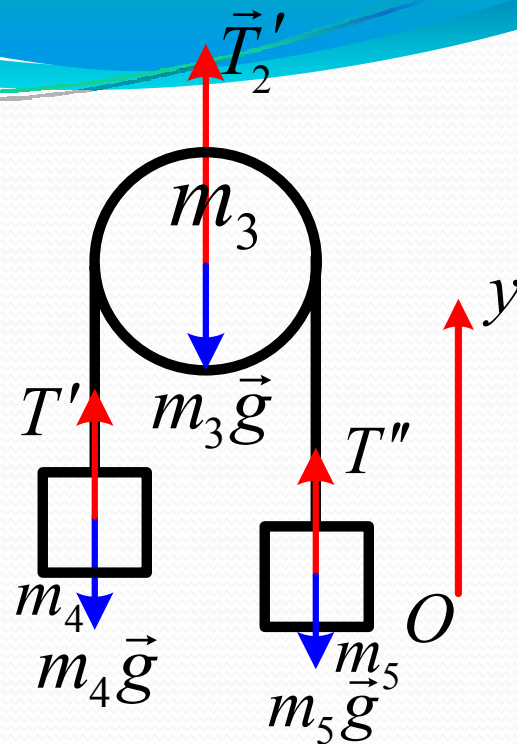
$$T' = T''$$

由相对运动可知：

$$a_{4y} - a_{3y} = -(a_{5y} - a_{3y})$$

由以上五式可得：

$$a_{3y} = \frac{m_4 + m_5}{m_3 m_4 + m_3 m_5 + m_4 m_5} T_2' - g \quad (4)$$



$$F = m_1 g + m_2 g \cos^2 \alpha - m_2 a_{1x} \sin \alpha \cos \alpha \quad (1)$$

$$T_1 = -m_2 g \sin \alpha \cos \alpha + (m_1 - m_2 g \sin^2 \alpha) a_{1x} \quad (2)$$

$$T_2 = T_1 e^{\frac{\mu \pi}{2}} \quad (3)$$

$$a_{3y} = \frac{m_4 + m_5}{m_3 m_4 + m_3 m_5 + 4m_4 m_5} T_2 - g \quad (4)$$

最后， m_1 和 m_3 是通过一根不可伸长的绳子相互制约，因而有：

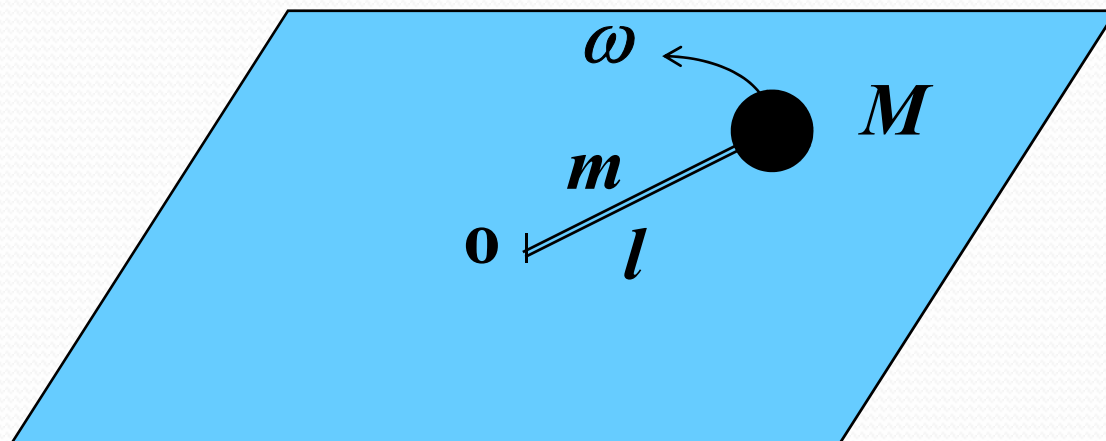
$$a_{1x} = -a_{3y} \quad (5)$$

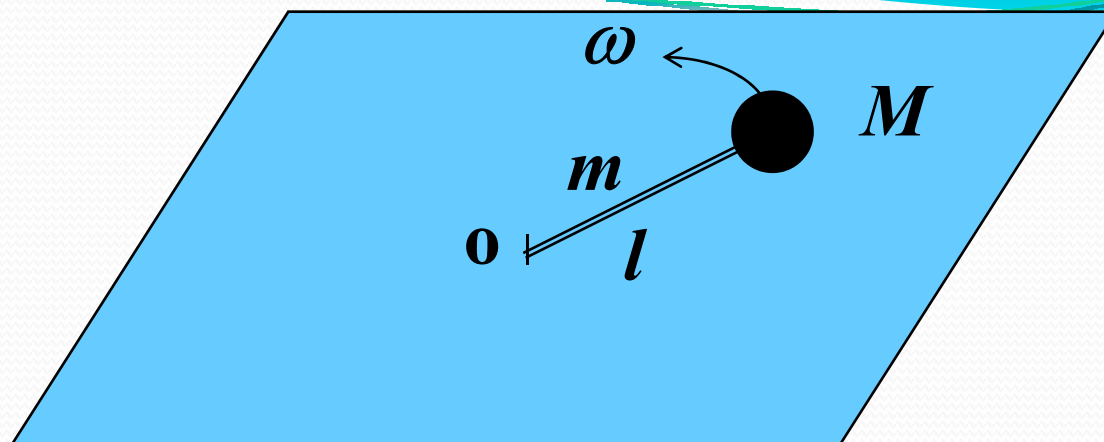
由 (1) ~ (5) 联立可得：

$$T_1 = \left[1 + \frac{(m_4 + m_5)(m_1 - m_2) \sin^2 \alpha}{m_3 m_4 + m_3 m_5 + 4m_4 m_5} e^{\frac{\pi \mu}{2}} \right]^{-1} \left[(m_1 - m_2 \sin^2 \alpha) g - m_2 g \sin \alpha \cos \alpha \right]$$

$$F = m_1 g + m_2 g \cos^2 \alpha - m_2 \sin \alpha \cos \alpha \left[g - \frac{m_4 + m_5}{m_3 m_4 + m_3 m_5 + 4m_4 m_5} \times T_1 e^{\frac{\pi \mu}{2}} \right]$$

例 一长度为 l ，质量为 m 的绳索，一端系在轴上，另一端固结一质量为 M 的物体，它们在光滑水平面上以均匀的角速度 ω 转动，求：绳中距离轴心为 r 处的张力 T 。



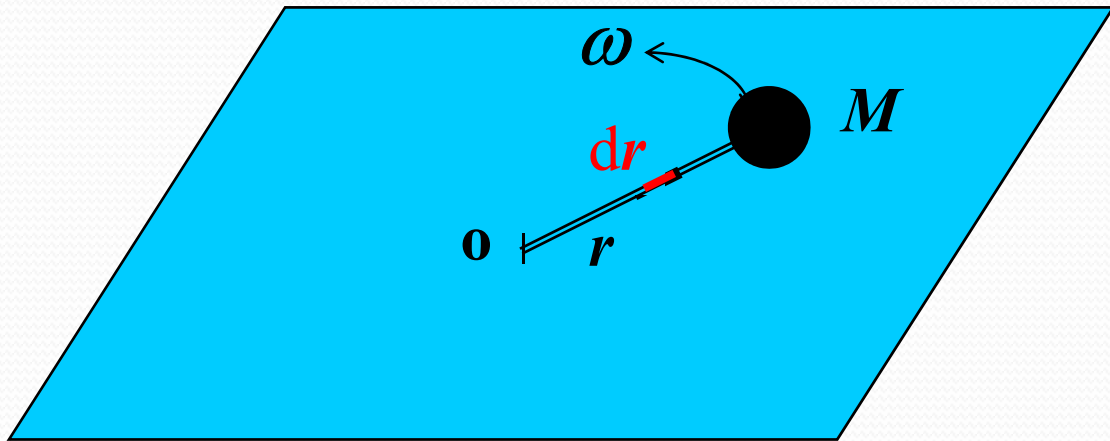


解:

此题告诉了绳的质量不能忽略时，绳中各部分的速度加速度都不相同，**整个绳不能看成一个质点!**
在绳的不同位置处，张力也不会相同。

下面求半径为 r
处的张力 $T=?$

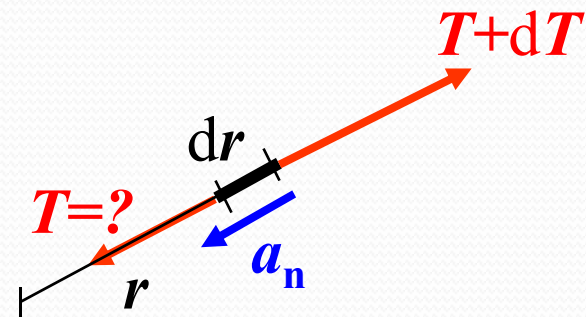
取距轴心 r 处，
长度为 dr 的
一段质元，

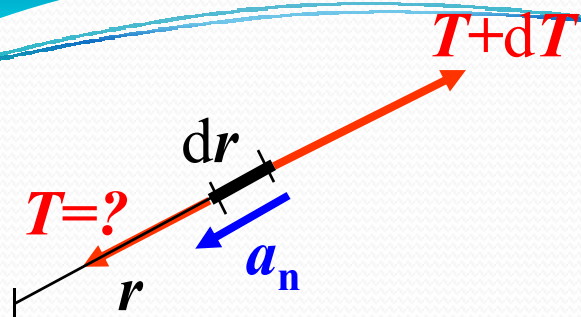


其质量为 $dm = m \frac{dr}{l}$

它作半径为 r ，速率为
 ωr 的匀速圆周运动。

设 r 处，张力为 T ，
 $r + dr$ 处，张力为 $T + dT$





由牛顿定律

$$T - (T + dT) = (dm)\omega^2 r$$

$$dT = -m\omega^2 r \frac{dr}{l}$$

积分可得 r 处的张力 T (利用绳末端的张力 T_l)

$$\int_T^{T_l} dT = \int_r^l -m\omega^2 r \frac{dr}{l}$$

$$T_l = M\omega^2 l$$

得

$$T = M\omega^2 l + m\omega^2 \frac{l^2 - r^2}{2l}$$

讨论

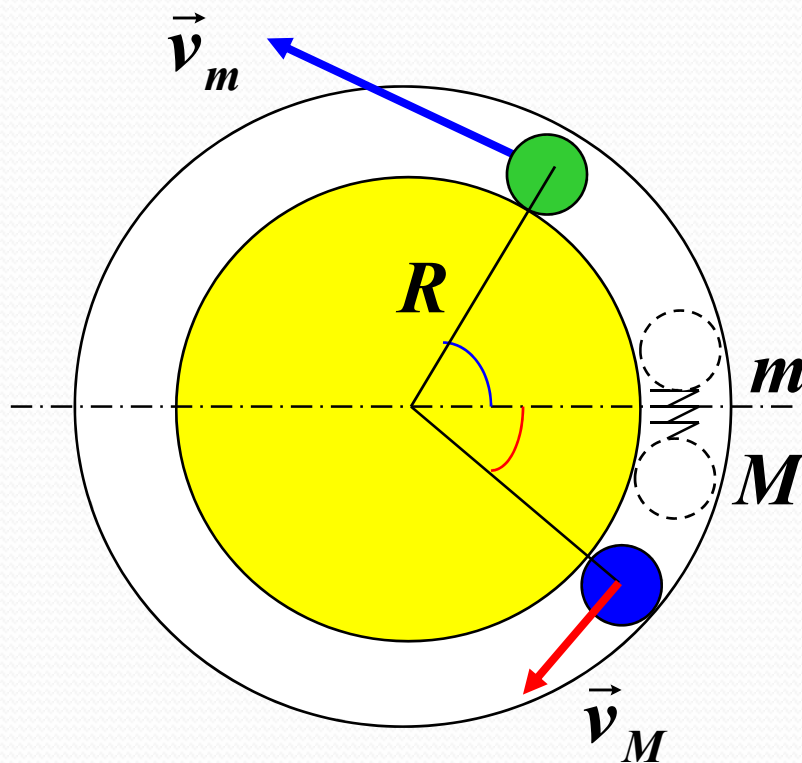
(1) 量纲 正确

(2) 特例

$r = l$ 时, $T = M\omega^2 l$ 正确

$r \rightarrow 0$ 时, $T = M\omega^2 l + m\omega^2 l/2$ (最大)

例. 两个质量分别为 m 、 M 的小球，位于一固定的、半径为 R 的水平光滑圆形沟槽内。一轻弹簧被压缩在两球间（未与球相连）。用线将两球缚紧，并使它们静止，如图所示。



- (1) 今将线烧断，两球被弹开后在沟槽内运动。问此后 M 转过多大角度与 m 相碰？
- (2) 设原来弹簧势能为 U_0 。问线烧断后两球经过多少时间发生碰撞？

解： 第(1)问： M 转过多大角度与 m 相碰

系统： “ $m+M$ ”

条件： 弹簧推力的力矩之和为0；

重力、槽底支持力无力矩；

槽壁对球的压力指向圆心，

$M_{\text{外}}=0$ ， \therefore 角动量守恒。

对弹出过程：

设 m, M 刚脱离弹簧时的角速度为 ω_m ， ω_M

有

$$J_m \omega_m - J_M \omega_M = 0$$
$$(mR^2) \omega_m - (MR^2) \omega_M = 0$$
$$m \omega_m = M \omega_M \cdots \cdots (1)$$

沟槽水平光滑，所以 m 、 M 都作匀速圆周运动。

设经过 Δt 它们相遇，相遇时， m 转过 θ 角， M 转过 Θ 角，由（1）式有

$$m \omega_m \Delta t = M \omega_M \Delta t$$

即 $m \theta = M \Theta \dots \dots (1)'$

且有 $\theta + \Theta = 2\pi \dots \dots (2)$

解（1）' （2）联立，得

$$\Theta = \frac{2\pi m}{M + m} \dots \dots (3)$$

第(2)问: 原来弹簧势能为 U_0 , 问线烧断后两球经过多少时间发生碰撞?

能否先求出 ω_M ? (或 ω_m ?)

因为在此过程中,

系统: $m+M$

条件: 只有保守力(弹力)做功,

所以机械能守恒。

$$\frac{1}{2}(mR^2)\omega_m^2 + \frac{1}{2}(MR^2)\omega_M^2 = U_0$$

$$\frac{1}{2}(mR^2)\omega_m^2 + \frac{1}{2}(MR^2)\omega_M^2 = U_0$$

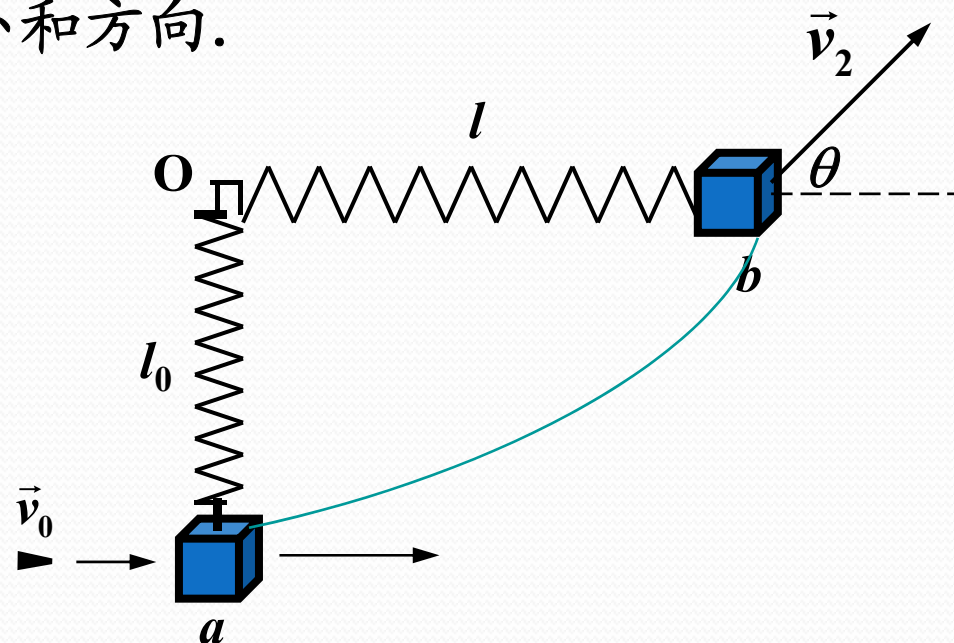
将 (1) 式的 $m\omega_m = M\omega_M$
代入上式, 可解得

$$\omega_M = \sqrt{\frac{2mU_0}{M(M+m)R^2}}$$

再利用 (3) 式的 Θ 角, 得

$$\Delta t = \frac{\Theta}{\omega_M} = \sqrt{\frac{2\pi^2 mMR^2}{(M+m)U_0}} \quad (\text{量纲对})$$

例 在光滑水平桌面上一质量为 M 的木块A与劲度系数为 k 的轻质弹簧相连, 弹簧另一端固定在O点. 一质量为 m 的子弹B以速度 v_0 ($v_0 \perp l_0$) 射向木块A并嵌在其中. 当木块A由点 a 运动到点 b 时, 弹簧的长度由原长 l_0 变为 l . 试求: 木块A在点 b 时的速度的大小和方向.



解：设子弹与木块共同速度为 v_1 。

动量守恒：

$$m v_0 = (m + M)v_1$$

机械能守恒：

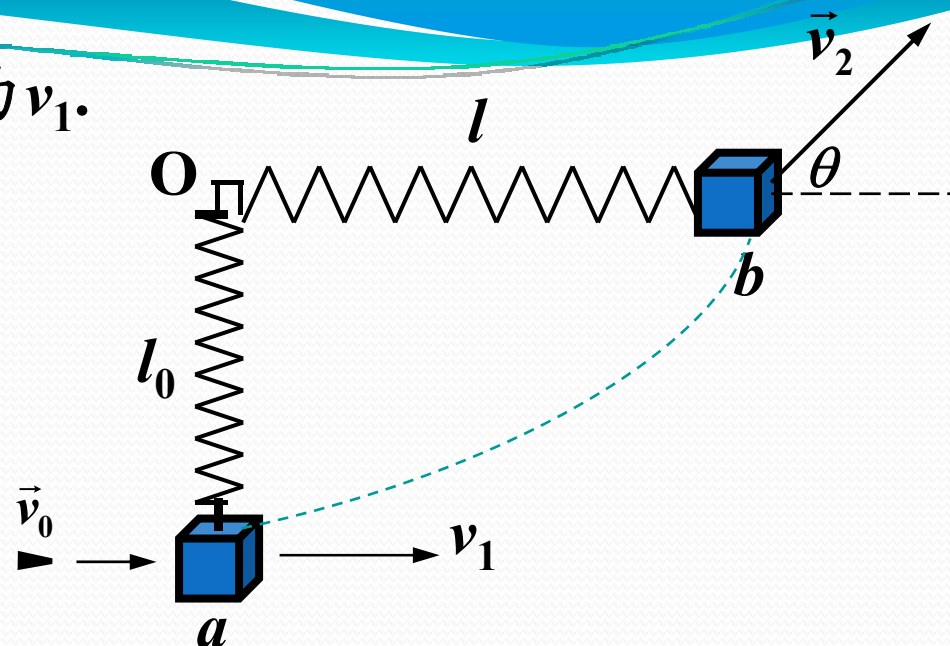
$$\frac{1}{2}(M + m)v_1^2 = \frac{1}{2}(M + m)v_2^2 + \frac{1}{2}k(l - l_0)^2$$

对O点的角动量守恒：

$$(M + m)l_0 v_1 = (M + m)lv_2 \sin \theta$$

解得

$$v_2 = \frac{1}{M + m} \sqrt{m^2 v_0^2 - (M + m)k(l - l_0)^2} \quad \sin \theta = \frac{l_0 v_1}{lv_2}$$

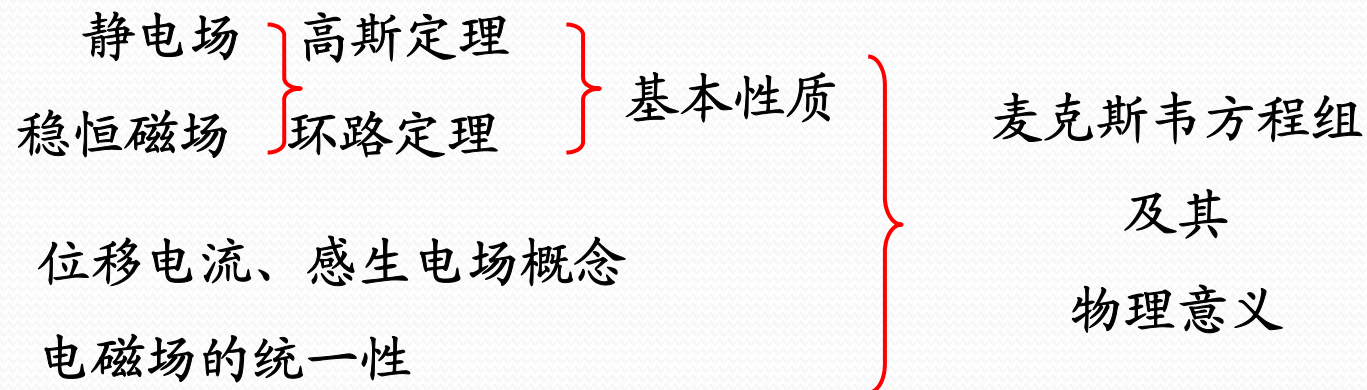


第二部分 电磁学 (3-6章)

1. 基本实验定律

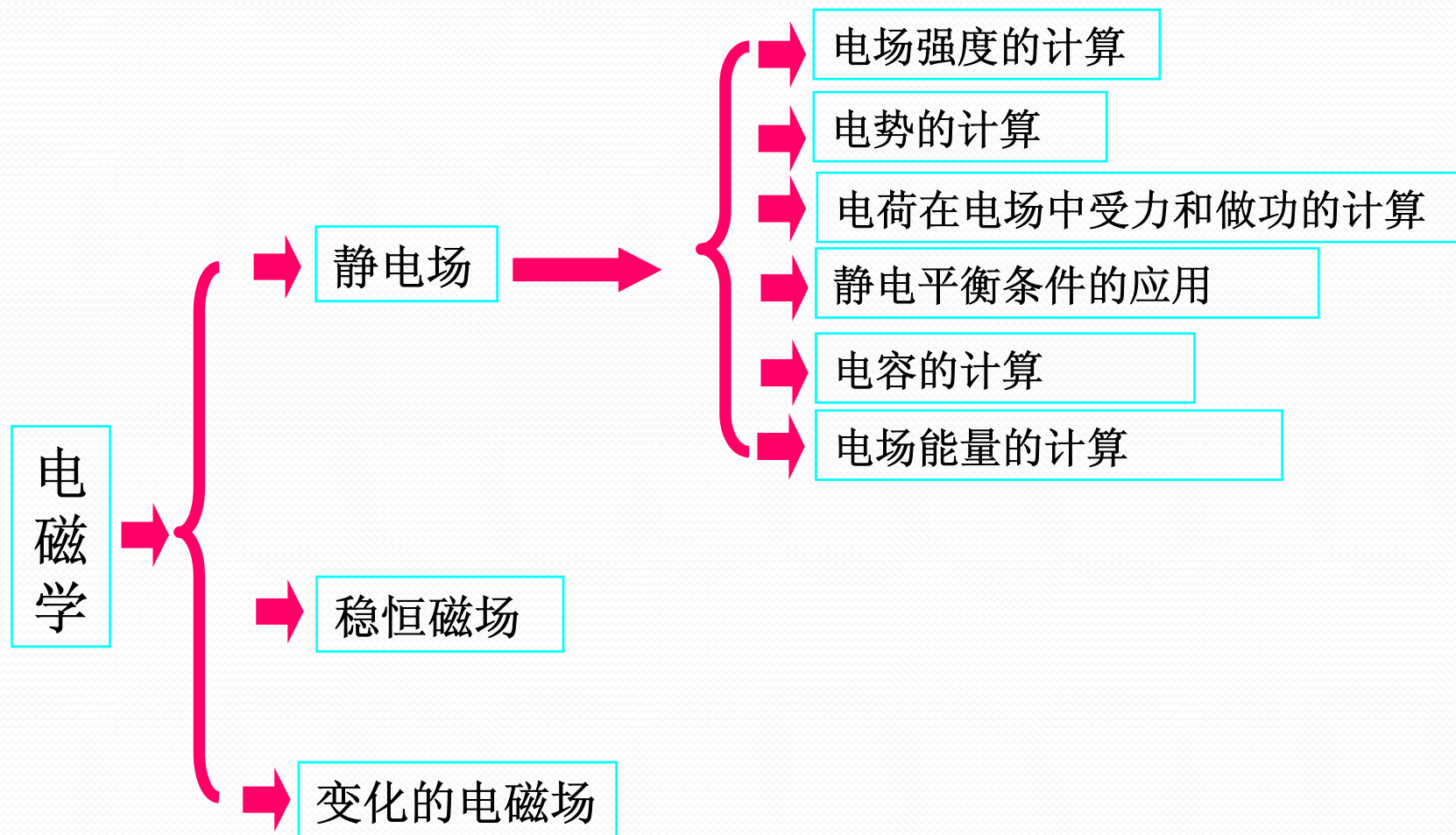
库仑定律、毕 — 沙 — 拉定律、安培定律、
法拉弟电磁感应定律

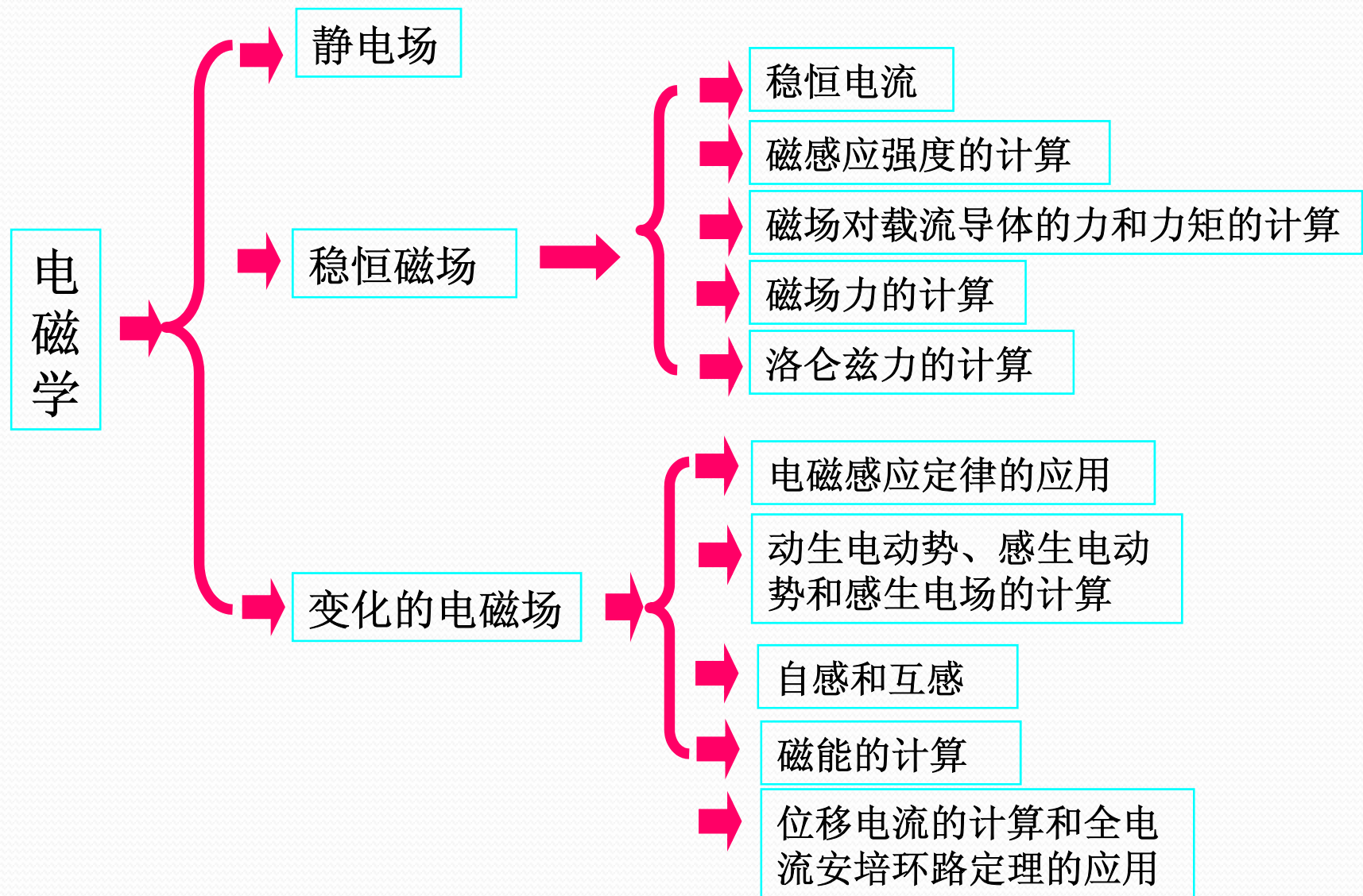
2. 基本概念和理论



3. 基本计算

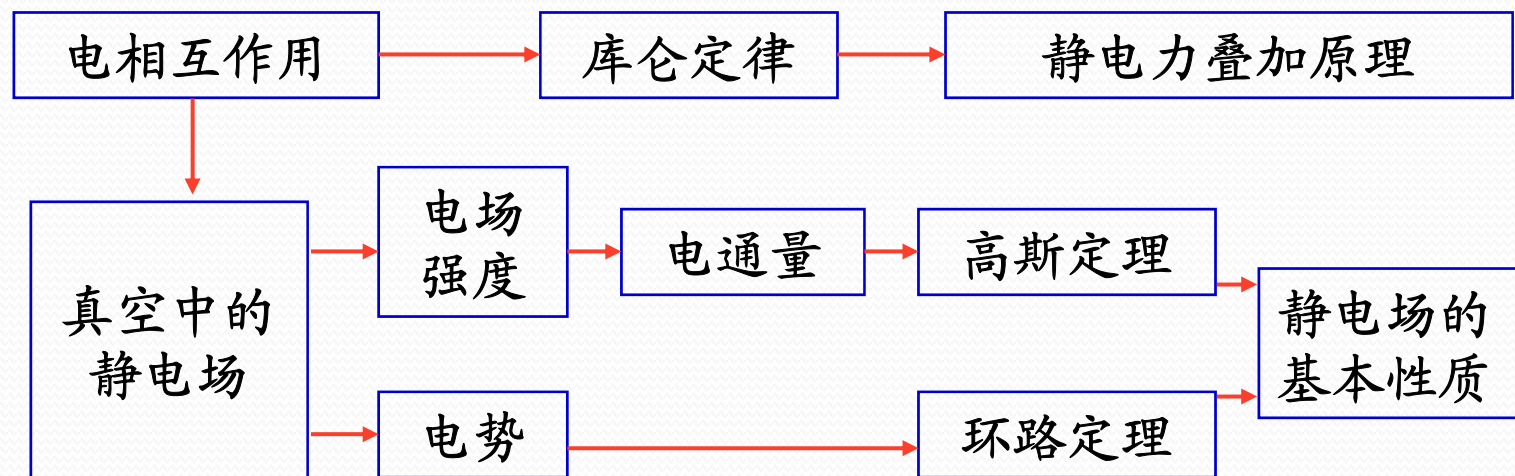
习题类型





第3章 真空中的静电场

结构框图



重点:

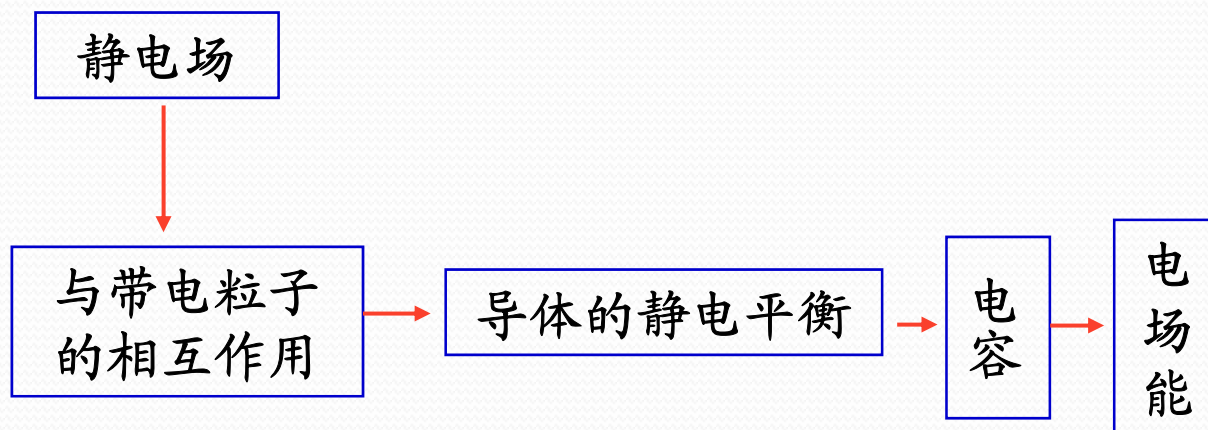
1. 两条基本实验定律: 库仑定律, 静电力叠加原理。
2. 两个基本物理量: 电场强度 \vec{E} , 电势 U 。
3. 两条基本定理:
静电场高斯定理, 环路定理。
揭示静电场基本性质(有源场、保守场)。

难点：

- 1、求解 \vec{E} , U 分布；
- 2、静电场的基本性质；

第4章 静电场中的导体

结构框图



重点： 静电场与物质（导体）的相互作用

难点： 有导体时的电场分布。

第3、4章:

1) \vec{E} 的计算



$$\varphi_e = \int_S \vec{E} \cdot d\vec{S}$$

2) U 的计算

3) C 的计算

4) W_e 的计算

叠加法 $dq \rightarrow d\vec{E} \rightarrow \vec{E}$ (分量积分)

高斯定理 (三种对称情况)

电势梯度 $\vec{E} = -\nabla U$

叠加法

$dq \rightarrow dU \rightarrow U$

场强积分

$U_P = \int_P^{\text{零势点}} \vec{E} \cdot d\vec{l}$

零势点选取; 分段积分

$q \rightarrow \vec{E} \rightarrow \Delta U \rightarrow C$

$$W_e = \frac{1}{2} C \Delta U^2 = \frac{Q^2}{2C} = \frac{1}{2} Q \Delta U$$

$$W_e = \int_V \frac{1}{2} E D dV$$

• 典型带电体 \vec{E} 分布:

点电荷电场:
$$\vec{E} = \frac{q\vec{r}}{4\pi\epsilon_0 r^3}$$

无限长均匀带电直线:

$$E = \frac{\lambda}{2\pi\epsilon_0 r} \quad \text{垂直于带电直线}$$

均匀带电圆环轴线上:
$$\vec{E} = \frac{qx\hat{i}}{4\pi\epsilon_0 (x^2 + R^2)^{3/2}}$$

无限大均匀带电平面:

$$E = \frac{\sigma}{2\epsilon_0} \quad \text{垂直于带电面}$$

典型带电体的电势分布

1. 点电荷 q 场中的电势分布: $U = \frac{q}{4\pi\epsilon_0 r}$

2. 均匀带电球面场中电势分布:

$$U_{\text{内}} = \frac{q}{4\pi\epsilon_0 R} = \text{恒量} \quad U_{\text{外}} = \frac{q}{4\pi\epsilon_0 r} \propto \frac{1}{r}$$

3. 均匀带电圆环轴线上的电势分布:

$$U = \frac{q}{4\pi\epsilon_0 (R^2 + x^2)^{1/2}}$$

导体存在时电场计算

静电平衡条件

电荷守恒定律

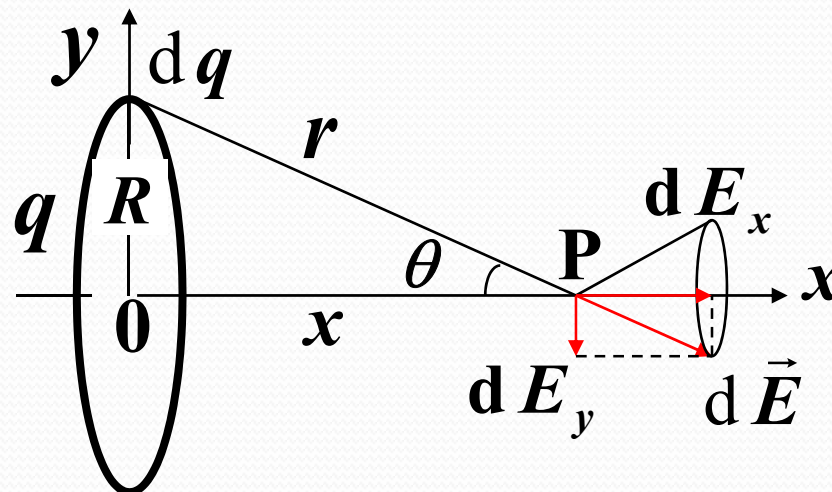
导体上的
电荷分布

计算 \vec{E} , U 分布
(方法同前)

例 求一个半径为 R 的均匀带电 q (设 $q > 0$) 的细圆环轴线上任一点的场强。

解: 根据对称性的分析

$$\begin{aligned} E &= \int dE_x \\ &= \int \frac{dq}{4\pi\epsilon_0 r^2} \cos\theta \\ &= \frac{q \cdot \cos\theta}{4\pi\epsilon_0 r^2} = \frac{qx}{4\pi\epsilon_0 (R^2 + x^2)^{3/2}} \end{aligned}$$



方向: $+x$

例 求半径为 R , 均匀带电圆面的轴线上任一点的场强。
设面电荷密度为 σ (设 $\sigma > 0$)

解: $dq = \sigma 2\pi r dr$

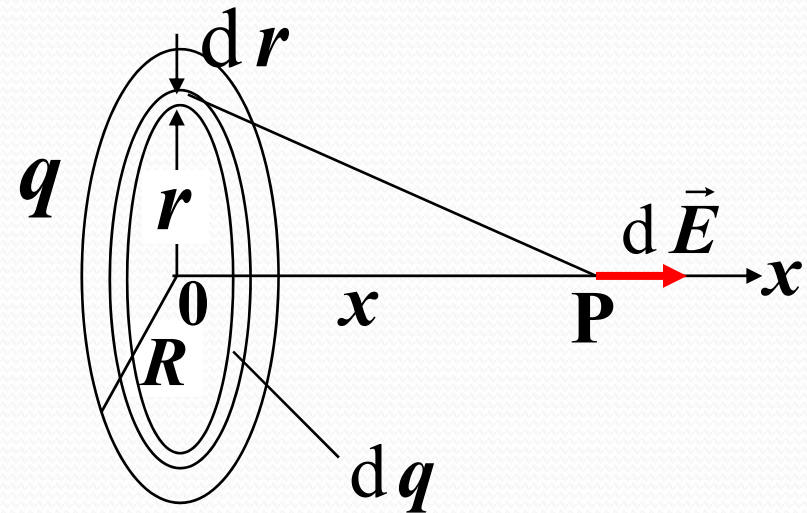
利用上例的结果,

$$E = \frac{qx}{4\pi\epsilon_0(R^2 + x^2)^{3/2}}$$

$$dE = \frac{(\sigma 2\pi r \cdot dr)x}{4\pi\epsilon_0(r^2 + x^2)^{3/2}}$$

各个细圆环在
P点的场强方
向都相同

$$E = \int dE = \frac{\sigma x}{2\epsilon_0} \int_0^R \frac{r dr}{(r^2 + x^2)^{3/2}}$$



$$E = \int dE = \frac{\sigma x}{2\varepsilon_0} \int_0^R \frac{r dr}{(r^2 + x^2)^{3/2}}$$

得
$$E = \frac{\sigma}{2\varepsilon_0} \left[1 - \frac{x}{(R^2 + x^2)^{1/2}} \right]$$

讨论 1: 对 $x \ll R$ 的区域, 则有

$$E = \frac{\sigma}{2\varepsilon_0} \quad (\text{记})$$

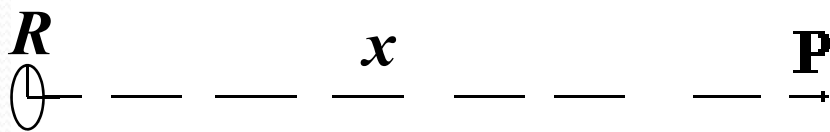
这称为“无限大”均匀带电平面的场强, 它是一个均匀电场!

$$E = \frac{\sigma}{2\varepsilon_0} \left[1 - \frac{x}{(R^2 + x^2)^{1/2}} \right]$$

讨论 2: 若 $x \gg R$ 时, 则利用泰勒公式

$$\frac{1}{(R^2 + x^2)^{1/2}} = \frac{1}{x} \frac{1}{\left(1 + \frac{R^2}{x^2}\right)^{1/2}} = \frac{1}{x} \left(1 - \frac{R^2}{2x^2} + \dots \right) \approx \frac{1}{x} \left(1 - \frac{R^2}{2x^2} \right)$$

$$\therefore E = \frac{\sigma R^2 \pi}{4\varepsilon_0 x^2 \pi} = \frac{q}{4\pi\varepsilon_0 x^2}$$



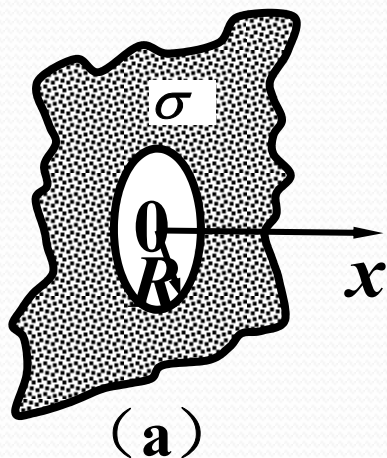
在远离带电圆面处的电场也相当于一个点电荷的电场。

③ $R_1 \rightarrow 0, R_2 \rightarrow \infty$, 此为均匀带电无限大平面:

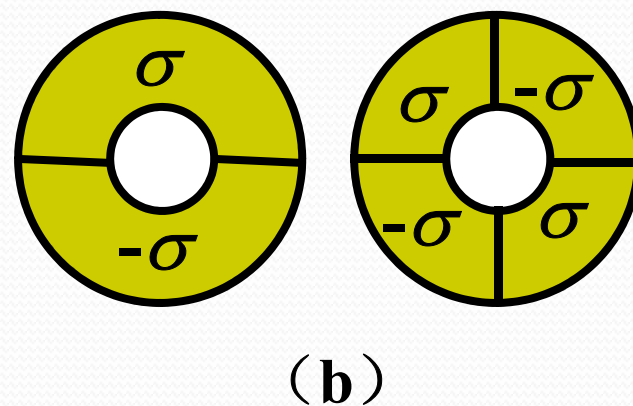
$$\begin{array}{c}
 \leftarrow \frac{\sigma}{2\epsilon_0} \quad \frac{\sigma}{2\epsilon_0} \rightarrow \\
 \hline
 \sigma
 \end{array}
 \quad E_x = \frac{\sigma}{2\epsilon_0} \cdot \frac{x}{|x|}, \quad E = |E_x| = \frac{\sigma}{2\epsilon_0}$$

$$= \text{Const.} \begin{cases} \text{与轴无关} \\ \text{与} x \text{ 无关} \end{cases}$$

④ 思考 (a) x 轴上 $E = ?$

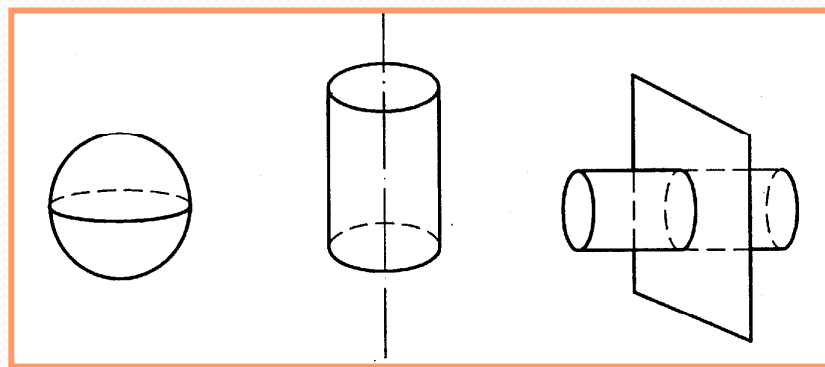


(b) $x \gg$ 电荷线度处,
 E 与 x 关系如何?



由高斯定理求电场分布的步骤

1. 由电荷分布的对称性分析电场分布的对称性.
2. 在对称性分析的基础上选取高斯面. 目的是使 $\oiint_s \vec{E} \cdot d\vec{S}$ 能够积分, 成为 E 与面积的乘积形式.

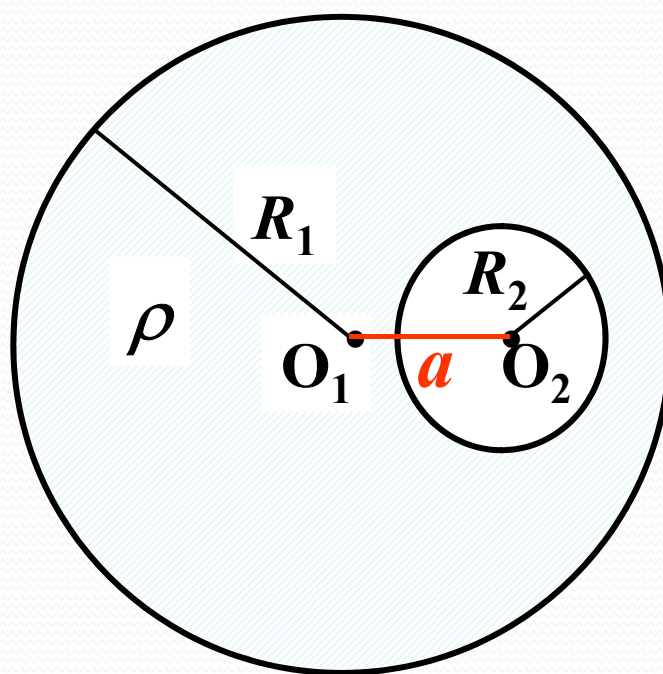


(球对称、轴对称、面对称三种类型)

3. 由高斯定理 $\oiint_s \vec{E} \cdot d\vec{S} = \frac{1}{\epsilon_0} \sum q_{\diamond}$ 求出电场的大小, 并说明其方向.

例 已知：如图所示，在半径为 R_1 ，体电荷密度为 ρ 的均匀带电球体内，挖去一个半径为 R_2 的小球体。空腔中心 O_2 与带电球中心 O_1 之间的距离为 a 。

求：空腔内任一点的场强。



解： 能否直接用高斯定理？

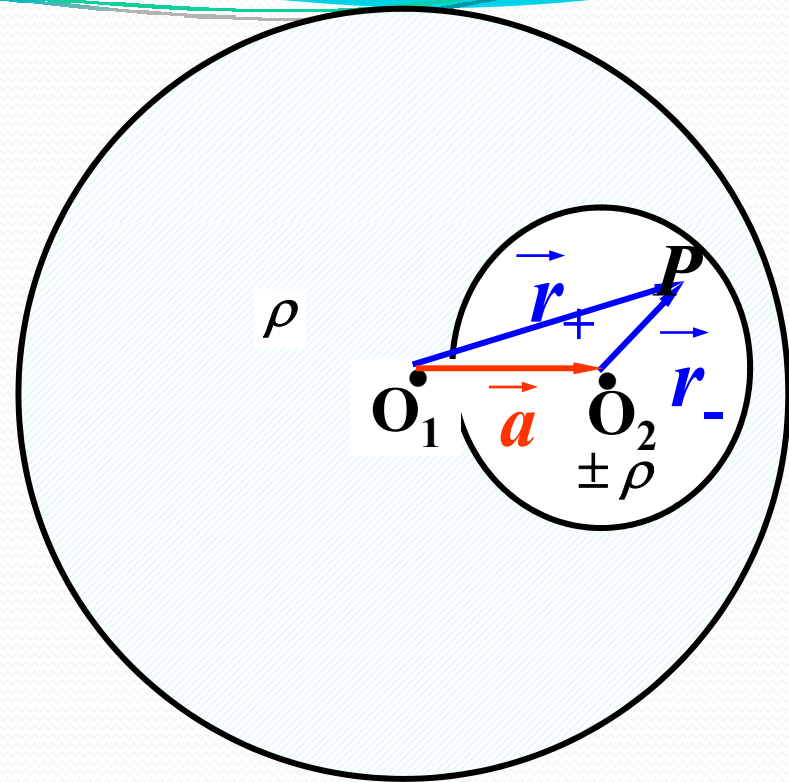
用叠加法：设想在空腔处，

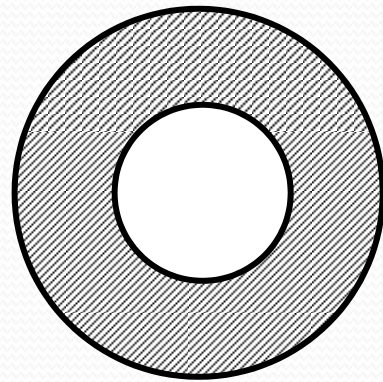
放上电荷密度分别为 ρ 和 $-\rho$ 的均匀电荷。

$$P\text{点: } \vec{E}_+ = \frac{\rho}{3\epsilon_0} \vec{r}_+$$

$$\vec{E}_- = \frac{-\rho}{3\epsilon_0} \vec{r}_-$$

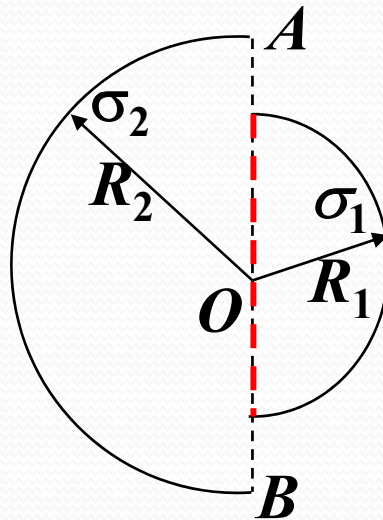
$$\vec{E} = \vec{E}_+ + \vec{E}_- = \frac{\rho}{3\epsilon_0} (\vec{r}_+ - \vec{r}_-) = \frac{\rho}{3\epsilon_0} \vec{a} = \text{const.}$$





若 O_1 、 O_2 重合，则 $\vec{E} = 0$

例：两个均匀带电的同心半球面如图相对放置，其半径分别为 R_1 与 R_2 ，电荷面密度分别为 σ_1 和 σ_2 ，求：大球底面直径AOB上的电势分布

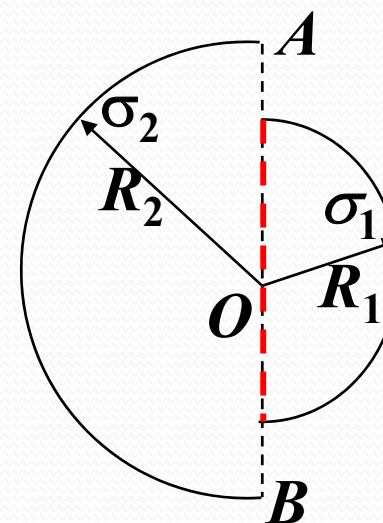


分析：由对称性及电势叠加原理可知，半球面在 \mathbf{AOB} 平面上的电势等于完整球面产生的电势的一半。

解：由均匀带电球面的电势分布

$$V_0 = \begin{cases} \frac{Q}{4\pi\epsilon_0 R} = \frac{\sigma R}{\epsilon_0} & (r \leq R) \\ \frac{Q}{4\pi\epsilon_0 r} = \frac{\sigma R^2}{\epsilon_0 r} & (r \geq R) \end{cases}$$

半个小球面在 \mathbf{AOB} 上的电势 $V_1 = \begin{cases} \frac{\sigma_1 R_1}{2\epsilon_0} & (r \leq R_1) \\ \frac{\sigma_1 R_1^2}{2\epsilon_0 r} & (r \geq R_1) \end{cases}$



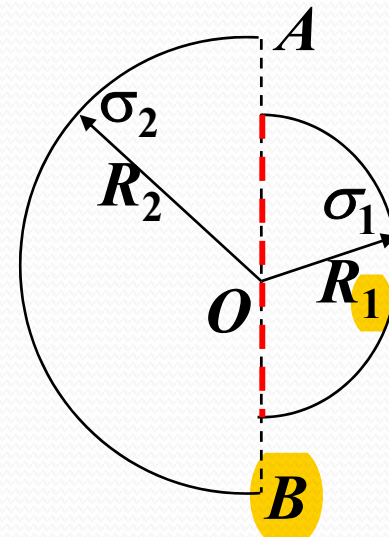
半个大球面在AOB上的电势

$$V_2 = \frac{\sigma_2 R_2}{2\epsilon_0} \quad (r \leq R_2)$$

则AOB上的电势分布为

$$V = V_1 + V_2 = \begin{cases} \frac{\sigma_1 R_1}{2\epsilon_0} + \frac{\sigma_2 R_2}{2\epsilon_0} & (r \leq R_1) \\ \frac{\sigma_1 R_1^2}{2\epsilon_0 r} + \frac{\sigma_2 R_2}{2\epsilon_0} & (r \geq R_1) \end{cases}$$

可以看出，在与小球面的底面重合的区域各点电势相等，而超出小球面底面的部分则与 r 有关。



$$\text{若 } \sigma_1 R_1 = -\sigma_2 R_2 \quad \text{则} \quad V = \begin{cases} 0 & (r \leq R_1) \\ \frac{\sigma_1 R_1}{2\epsilon_0} \left(\frac{R_1}{r} - 1 \right) & (r \geq R_1) \end{cases}$$

例. 一空气平行板电容器接电源后，极板上的面电荷密度为 σ_0 ，在保持与电源接通的情况下，将相对介电常数为 ε_r 的各向同性均匀介质充满两极板之间，忽略边缘效应。

请将电容器中的场强 E ，板间电压 U ，电容 C ，能量 W_e 等填入下表中。

	真空	电介质	变化	原因
E	σ_0 / ε_0	σ_0 / ε_0	不变	U 、 d 不变
U	$\sigma_0 d / \varepsilon_0$	$\sigma_0 d / \varepsilon_0$	不变	连接电源
σ	σ_0	$\varepsilon_r \sigma_0$	ε_r 倍	E 不变又连电源
C	$\varepsilon_0 S / d$	$\varepsilon_0 \varepsilon_r S / d$	ε_r 倍	U 不变 $Q \uparrow$
W_e	$(1/2)C_0 U^2$	$\varepsilon_r (1/2)C_0 U^2$	ε_r 倍	U 不变 $C \uparrow$
D	σ_0	$\varepsilon_r \sigma_0$	ε_r 倍	自由电荷 $Q \uparrow$
σ'	0	$(\varepsilon_r - 1) \sigma_0$	无 \rightarrow 有	电介质极化

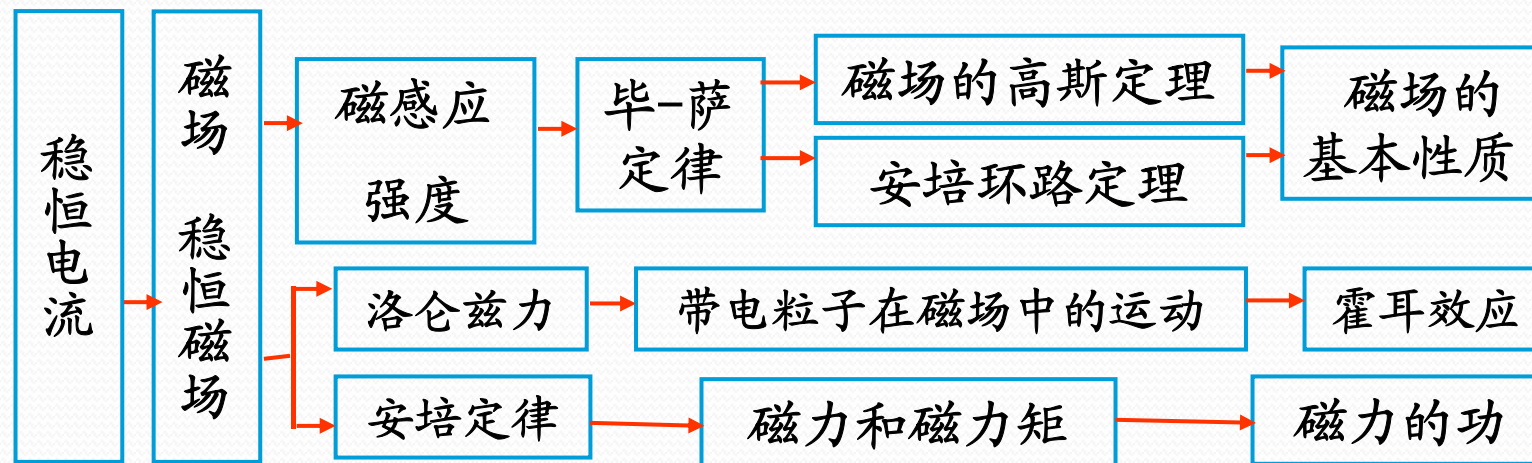
自练：一空气平行板电容器接电源后，极板上的面电荷密度为 σ_0 ，然后与电源断开的情况下，将相对介电常数为 ε_r 的各向同性均匀介质充满两极板之间，忽略边缘效应。

请将电容器中的场强 E ，板间电压 U ，电容 C ，能量 W_e 等填入下表中。

	真空	电介质	变化	原因
E				
U				
σ				
C				
W_e				
D				
σ'				

第5章 真空中稳恒电流的磁场

结构框图



重点

基本概念: 稳恒电流 磁感应强度, 磁通量, 电流磁矩

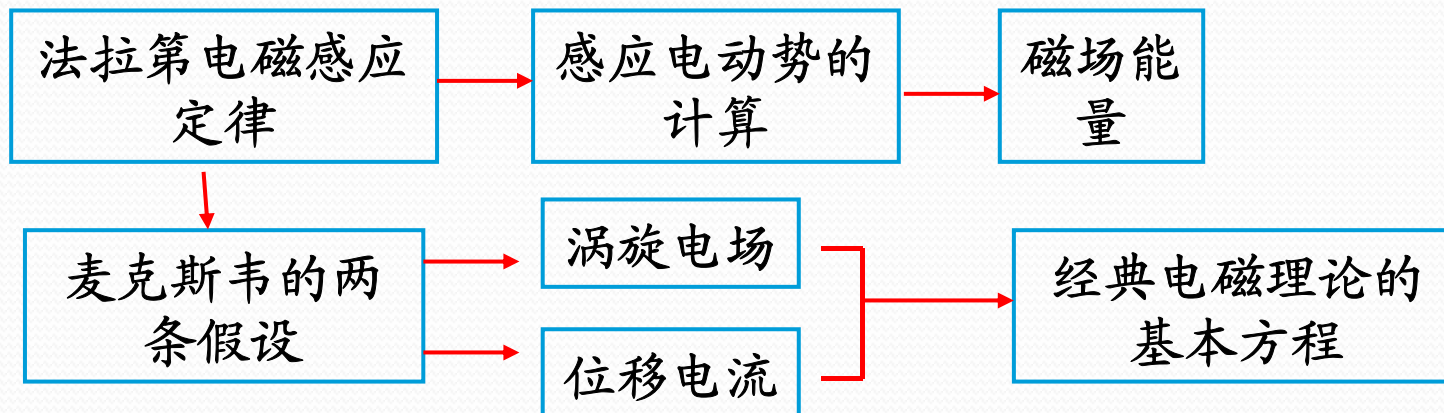
基本规律: 磁场叠加原理, 毕-萨-拉定律及其应用,
稳恒磁场高斯定理和环路定理
磁场的基本性质 (无源场、涡旋场)

基本计算: 稳恒磁场 \vec{B} 分布, 洛仑兹力, 安培力, 磁力矩

难点 运动电荷之间的相互作用

第6章 变化的电磁场

结构框图：



重点：法拉第电磁感应定律，动生电动势，涡旋电场，感生电动势，自感，互感，磁场能，位移电流，麦克斯韦方程组

难点：感应电动势的计算，涡旋电场，位移电流，麦克斯韦方程组

第5章:

1、 \vec{B} 的计算

$$\varphi_m = \int_S \vec{B} \cdot d\vec{S}$$

叠加法 $I d\vec{l} \rightarrow d\vec{B} \rightarrow \vec{B}$

$$dI \rightarrow d\vec{B} \rightarrow \vec{B}$$

$$dI = dq \frac{\omega}{2\pi}$$

安培环路定理 (对称性)

2、磁矩 \vec{P}_m 的计算:

$$d\vec{P}_m = S dI \vec{n} \quad ; \quad \vec{P}_m = \int d\vec{P}_m$$

3、磁力、磁力矩

$$\vec{f}_L = q \vec{v} \times \vec{B}$$

$$d\vec{F}_m = I d\vec{l} \times \vec{B} \quad \vec{F}_m = \int d\vec{F}_m$$

$$\vec{M} = \vec{P}_m \times \vec{B}$$

1、电场与磁场的对比

电场

场源: 电荷 q

电荷元 dq

$$d\vec{E} = \frac{1}{4\pi\epsilon_0} \frac{dq\vec{r}}{r^3}$$

场量: \vec{E}

叠加原理: $\vec{E} = \int d\vec{E}$

磁场

电流 I

电流元 $Id\vec{l}$

$$d\vec{B} = k \frac{Id\vec{l} \times \vec{r}}{r^3}$$

\vec{B}

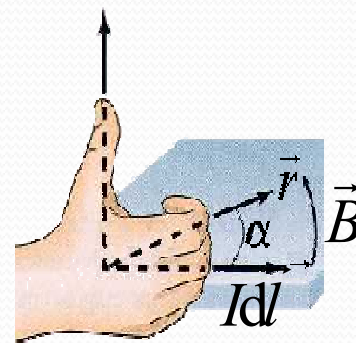
$$\vec{B} = \int d\vec{B}$$

基本思路: $I \longrightarrow Id\vec{l} \longrightarrow d\vec{B} \longrightarrow \vec{B} = \int d\vec{B}$

2、毕奥-萨伐尔-拉普拉斯定律:电流元产生的磁感应强度:

$$d\vec{B} = \frac{\mu_0}{4\pi} \frac{Id\vec{l} \times \vec{r}}{r^3}$$

方向的判断是重点!



3、毕奥-萨伐尔定律的应用:

★ 直线电流: 有限长=>无限长 $B = \frac{\mu_0 I}{2\pi d}$

★ 圆电流: 圆心处 $B_0 = \frac{\mu_0 I}{2R}$

★ 载流长直螺线管: $B = \mu_0 nI$

★ 运流电流: 等效电流 $I = q \cdot v = q \cdot \frac{\omega}{2\pi}$

圆心处: $B = \frac{\mu_0 I}{2R} = \frac{\mu_0 q \omega}{4\pi R}$

4、运动电荷产生的磁场

$$\vec{B} = \frac{\mu_0}{4\pi} \frac{q\vec{v} \times \vec{r}}{r^3}$$

1. 熟悉典型问题结果

运动点电荷，
无限长直电流，
圆电流轴线上，
长直载流螺线管，
螺绕环 ...

2. 总结出用安培环路定理求解磁场分布的思路

对称性分析 — 选环路 L 并规定绕向.

— 由 $\oint_L \vec{B} \cdot d\vec{l} = \mu_0 \sum I_{\text{内}}$ 求 \vec{B} 分布.

与用高斯定理计算场强的条件和方法作比较!

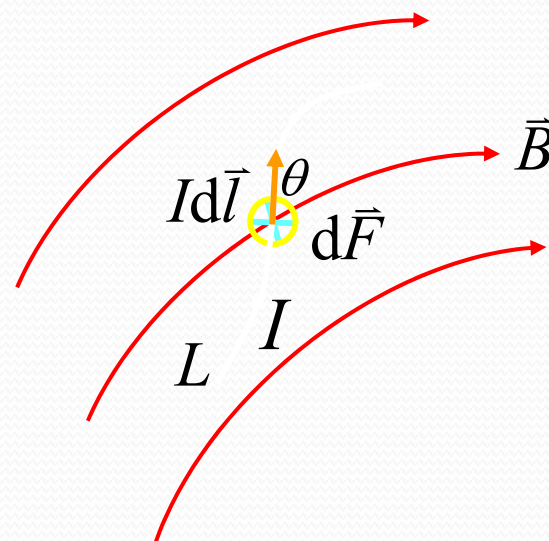
3、磁场对电流的作用

(1) 安培力

$$d\vec{F} = I d\vec{l} \times \vec{B}$$

大小: $dF = IdlB \sin \theta$

方向: $I d\vec{l} \times \vec{B}$



(2) 匀强磁场对平面载流线圈的作用

合力: $\sum \vec{F} = 0$

磁力矩: $\vec{M} = \vec{m} \times \vec{B}$, $\vec{m} = IS\hat{e}_n$ (磁矩)

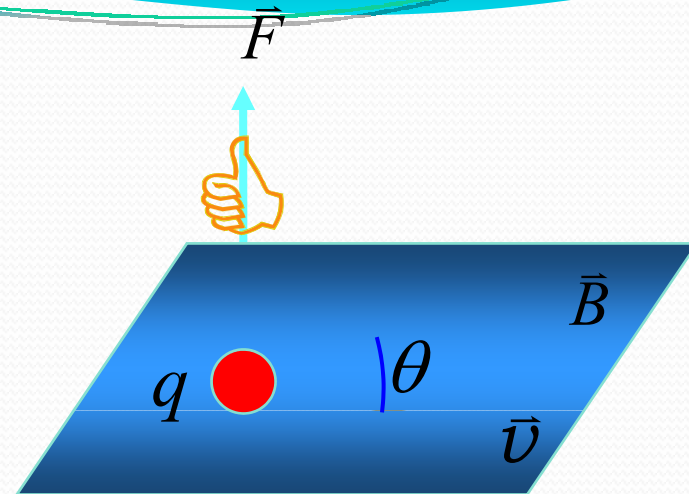
(3) 磁力的功

$$A = \int_{\varphi_{m1}}^{\varphi_{m2}} I d\varphi_m = I \Delta \varphi_m$$

4、磁场对运动电荷的作用

(1) 磁场对运动电荷的作用

洛伦兹力 $\vec{F} = q\vec{v} \times \vec{B}$



洛伦兹力始终与电荷运动方向垂直，对电荷不作功。

(2) 霍耳效应

霍耳电压 $U_{ab} = R_H \frac{IB}{d}$

霍耳系数 $R_H = \frac{1}{nq}$

例 载流长直导线的磁场

条件: L 、 I 、 d 、 α_1 、 α_2

解: 利用毕 - 萨 - 拉定律及叠加原理求解

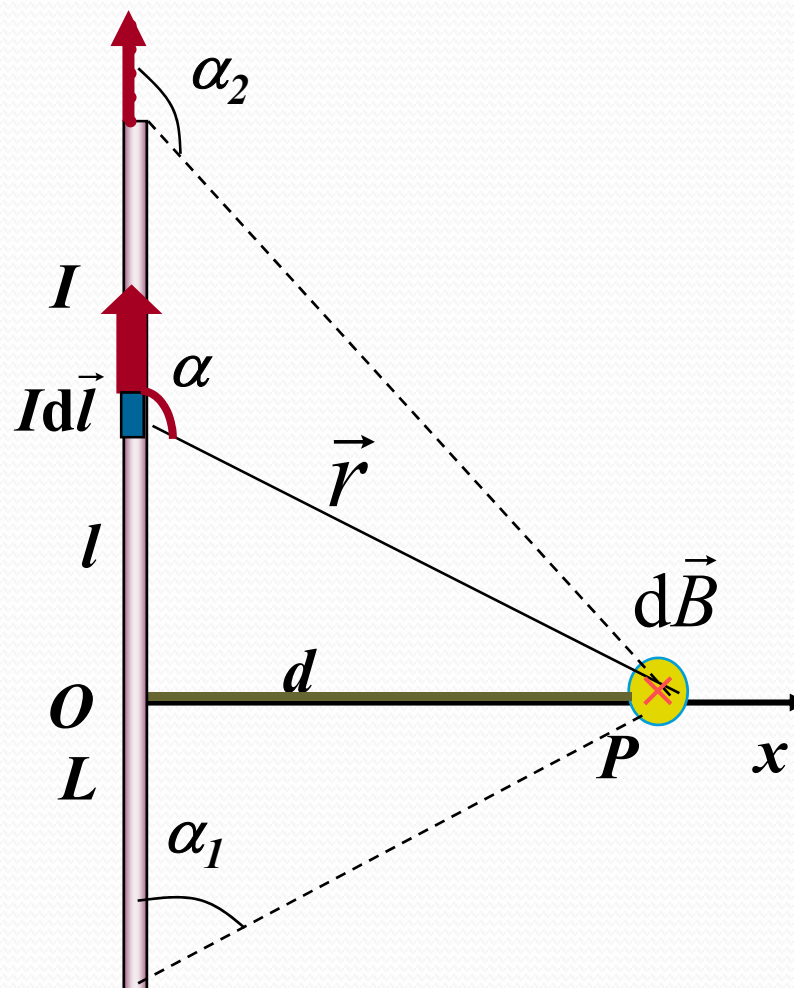
电流元的磁场:

$$d\vec{B} = \frac{\mu_0}{4\pi} \frac{Id\vec{l} \times \vec{r}}{r^3}$$

$$B = \int_L dB = \frac{\mu_0}{4\pi} \int_L \frac{Idl \sin \alpha}{r^2}$$

统一变量

$$r = d / \sin \alpha, l = -d \cot \alpha$$



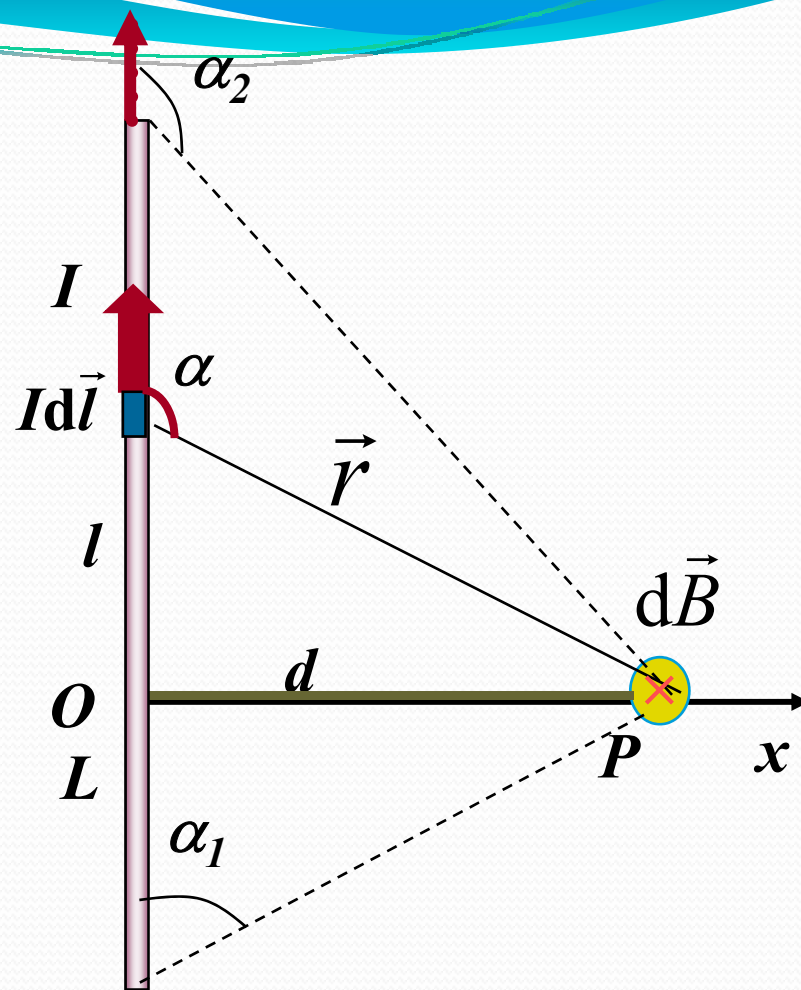
$$B = \int_L dB = \frac{\mu_0}{4\pi} \int_L \frac{Idl \sin \alpha}{r^2}$$

统一变量 $r=d/\sin\alpha$, $l = -d \operatorname{ctg} \alpha$

$$B = \frac{\mu_0 I}{4\pi} \int_L \frac{dl \sin \alpha}{r^2}$$

$$= \frac{\mu_0 I}{4\pi} \int_{\alpha_1}^{\alpha_2} \frac{\sin \alpha}{d} d\alpha$$

$$= \frac{\mu_0 I}{4\pi d} (\cos \alpha_1 - \cos \alpha_2)$$



方向：直导线电流与各电流元的磁场同方向,与导线垂直。

$$B = \frac{\mu_0 I}{4\pi d} (\cos \alpha_1 - \cos \alpha_2)$$

讨论:

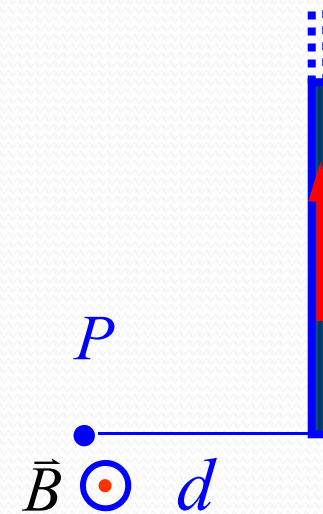
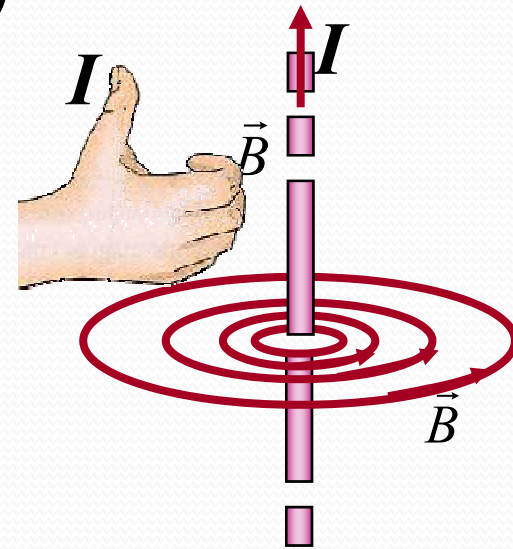
(1) $\alpha_1=0, \alpha_2=\pi$, 无限长载流直导线,

$$B = \frac{\mu_0 I}{2\pi d}$$

(2) 半无限长载流直导线

过半无限长载流直导线端点垂线上任意一点的磁场

$$B_2 = \frac{\mu_0 I}{4\pi d} (\cos 90^\circ - \cos 180^\circ) = \frac{\mu_0 I}{4\pi d}$$



$$B = \frac{\mu_0 I}{4\pi d} (\cos \alpha_1 - \cos \alpha_2)$$

(2) 半无限长载流直导线

延长线上任意一点的磁场

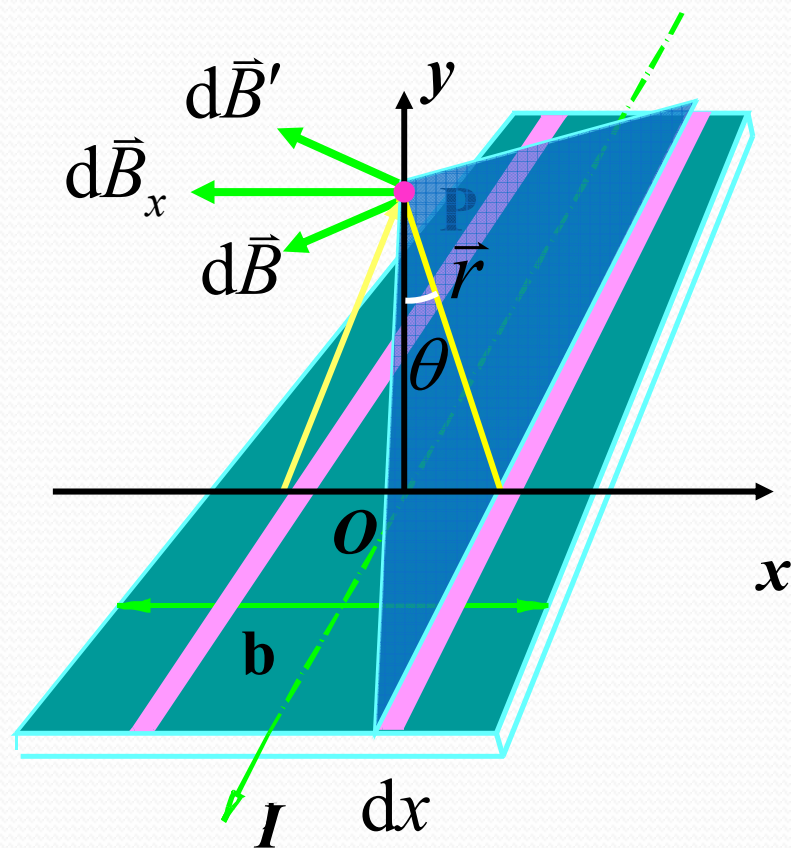
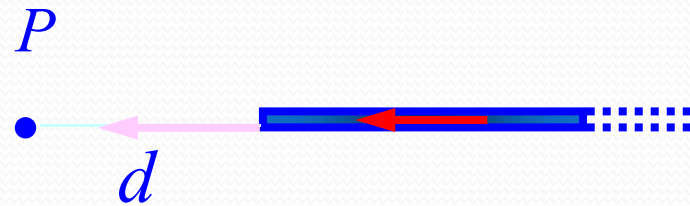
$$B_1 = 0$$

(3) 无限长载流平板中垂面上任一点的磁场

解
$$dI = \frac{Idx}{b}$$

$$dB = \frac{\mu_0 dI}{2\pi r} = \frac{\mu_0 I dx}{2\pi b y \sec \theta}$$

$$B_P = B_x = \int dB_x$$



$$dB = \frac{\mu_0 dI}{2\pi r} = \frac{\mu_0 I dx}{2\pi b y \sec \theta}$$

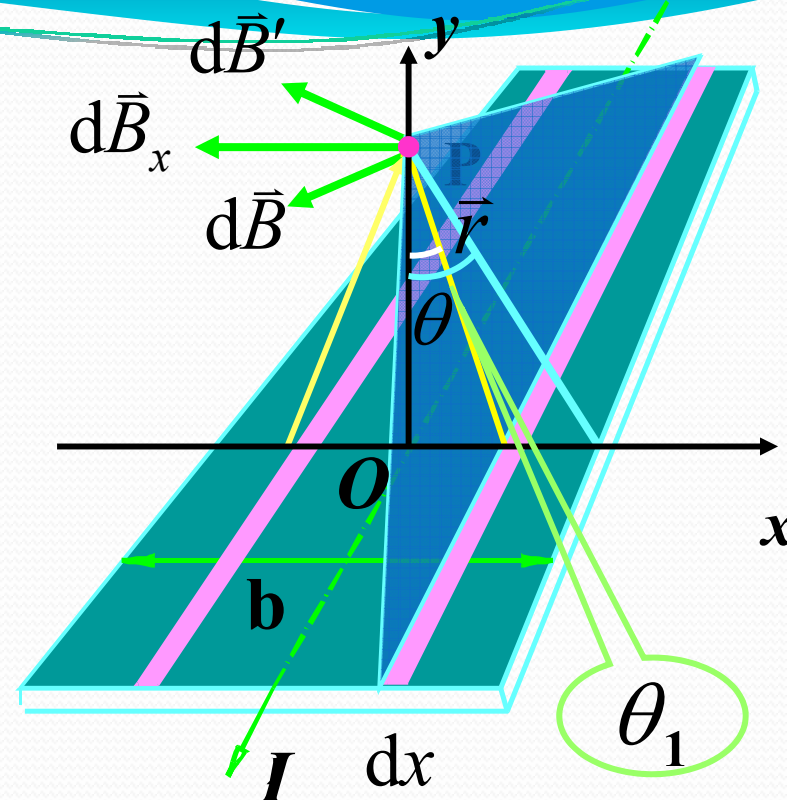
$$B_P = B_x = \int dB_x = \int dB \cos \theta$$

$$= 2 \int_0^{\frac{b}{2}} \frac{\mu_0 I}{2\pi b y \sec^2 \theta} dx$$

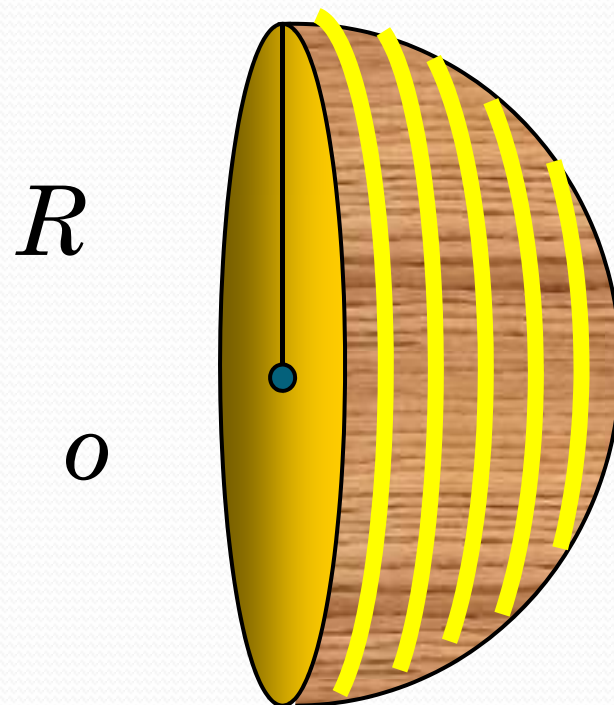
$$dx = y \sec^2 \theta d\theta$$

$$\theta_1 = \arctan \frac{b}{2y}$$

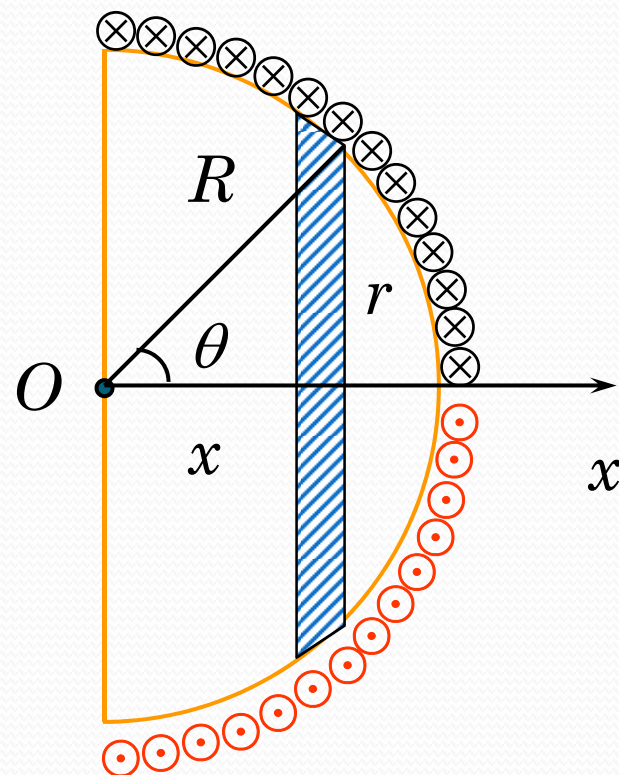
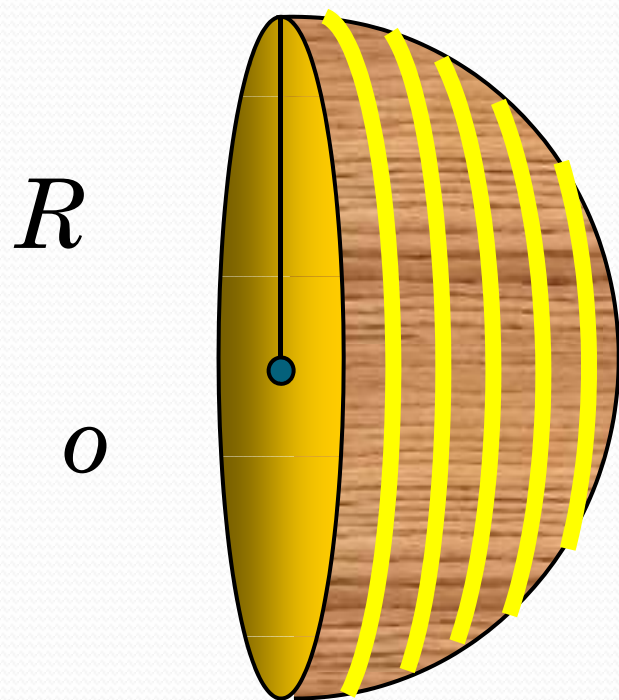
$$B_P = \frac{\mu_0 I}{\pi b} \int_0^{\theta_1} d\theta = \frac{\mu_0 I}{\pi b} \arctan \frac{b}{2y}$$



例 在半径为 R 的半球型木制骨架上密绕 N 匝线圈，线圈内通有电流 I ，求：球心 o 点处的磁感应强度 B 。



解：由于线圈密绕，电流对 o 点张角 θ 均匀分布。



可将半球面上的电流分割成无限多载流圆环，利用载流圆环在轴线上的磁感应强度公式：

$$B = \frac{\mu_0 I R^2}{2(x^2 + R^2)^{3/2}}$$

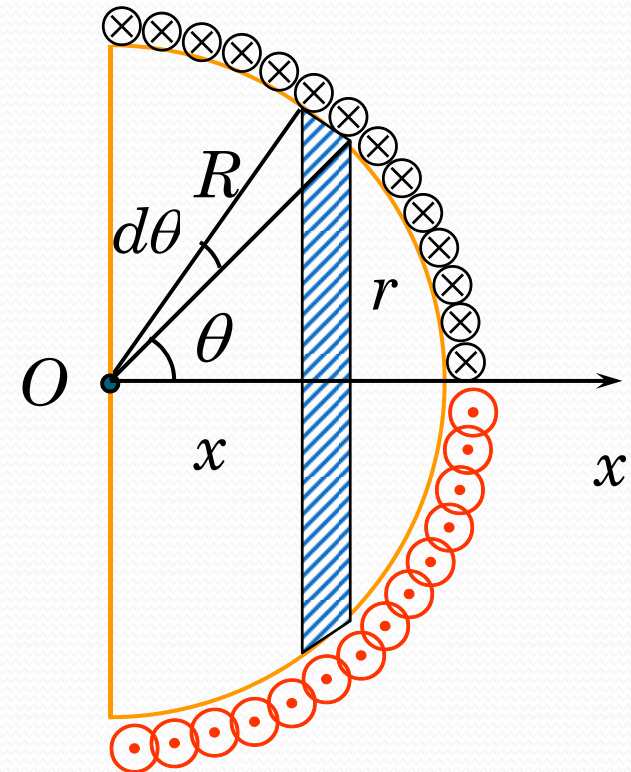
北京邮电大学理学院物理部

则电流元的磁场:
$$dB = \frac{\mu_0 r^2 dI}{2(x^2 + r^2)^{3/2}}$$

其中
$$dI = \frac{NI}{\pi/2} d\theta$$

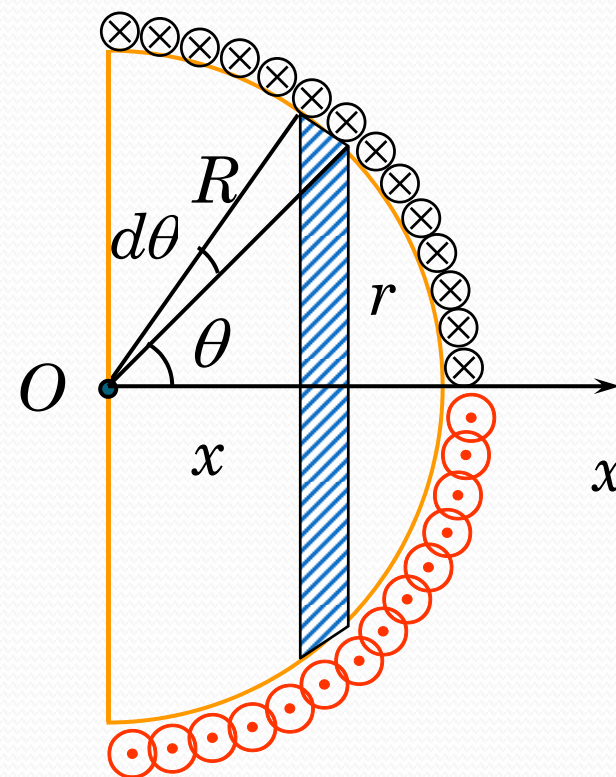
$$r = R \sin \theta$$

$$\begin{aligned} dB &= \frac{\mu_0 r^2 dI}{2(x^2 + r^2)^{3/2}} \\ &= \frac{\mu_0 (R \sin \theta)^2 2NI d\theta}{2\pi R^3} \\ &= \frac{\mu_0 NI \sin^2 \theta d\theta}{\pi R} \end{aligned}$$

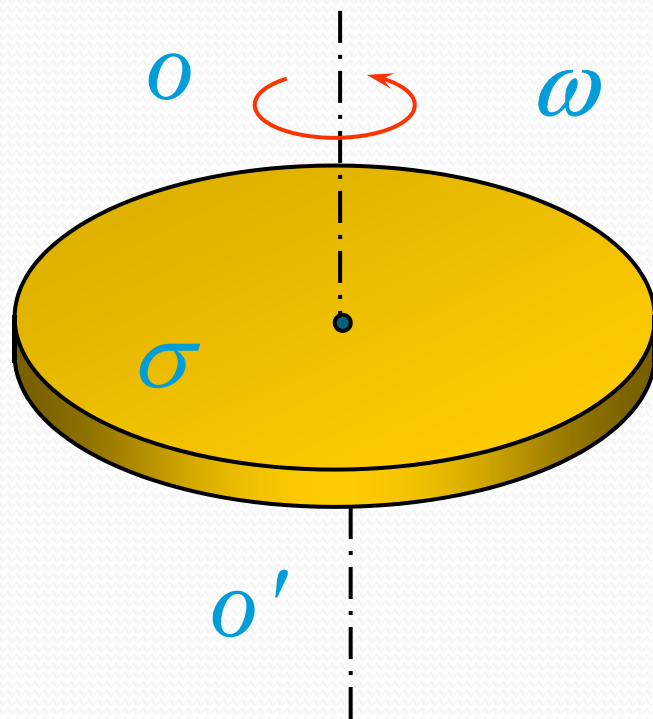


各电流元在 o 点产生的磁感应强度的方向都向左，则 o 点的磁感应强度为：

$$\begin{aligned} B &= \int_0^{\pi/2} dB \\ &= \int_0^{\pi/2} \frac{\mu_0 NI \sin^2 \theta d\theta}{\pi R} \\ &= \frac{\mu_0 NI}{\pi R} \int_0^{\pi/2} \sin^2 \theta d\theta \\ &= \frac{\mu_0 NI}{\pi R} \frac{\pi}{4} \\ &= \frac{\mu_0 NI}{4R} \end{aligned}$$



例：半径为 R 的均匀带电圆盘，面电荷密度为 σ ，圆盘绕中心轴 oo' 以角速度 ω 转动，求盘心 o 点的磁感应强度 B 。



解：圆盘上的电荷转动，在圆盘表面形成环形电流：

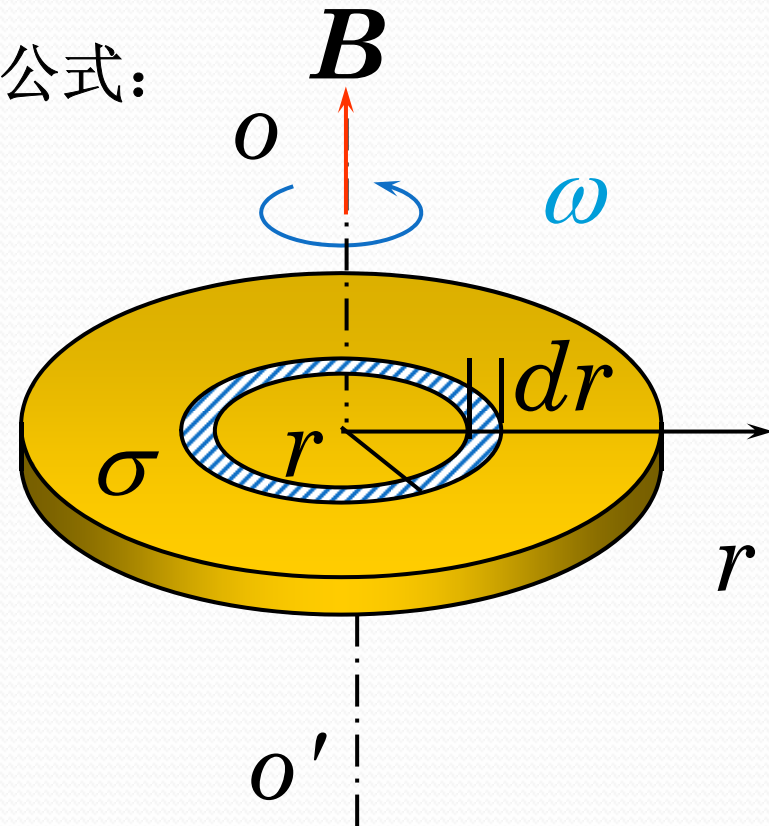
无限多的环形电流在空间产生磁场，分割电流元，电流元为半径为 r 、宽度为 dr 的圆环。

利用载流圆环环心处磁感应强度公式：

$$B = \frac{\mu_0 I}{2R}$$

电流元在 o 点产生的磁场为：

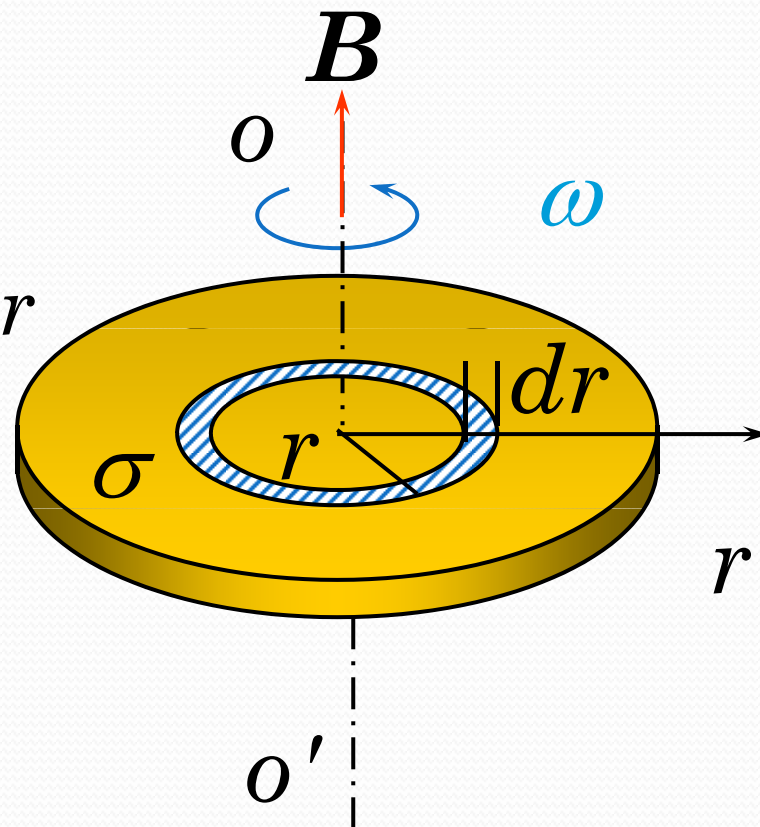
$$\begin{aligned} dB &= \frac{\mu_0 dI}{2r} \\ dI &= \frac{dq}{T} = \frac{\sigma dS}{2\pi / \omega} \\ &= \frac{\sigma \omega \cancel{2\pi} r dr}{\cancel{2\pi}} = \sigma \omega r dr \end{aligned}$$



所以

$$\begin{aligned} dB &= \frac{\mu_0 dI}{2r} \\ &= \frac{\mu_0 \cancel{\sigma \omega} dr}{2\cancel{r}} = \frac{1}{2} \mu_0 \sigma \omega dr \end{aligned}$$

$$\begin{aligned} B &= \int dB = \int_0^R \frac{1}{2} \mu_0 \sigma \omega dr \\ &= \frac{1}{2} \mu_0 \sigma \omega R \end{aligned}$$



第6章

1. 感应电动势的计算

$$\begin{aligned} \varepsilon &= -\frac{d\psi_m}{dt} \\ &= -N \frac{d\phi_m}{dt} \end{aligned} \left\{ \begin{aligned} \varepsilon_{\text{动}} &= \oint_L (\vec{v} \times \vec{B}) \cdot d\vec{l} \\ \varepsilon_{\text{感}} &= \iint_s \frac{\partial \vec{B}}{\partial t} \cdot d\vec{S} \end{aligned} \right. \left\{ \begin{aligned} \varepsilon_L &= -L \frac{dI}{dt} \\ \varepsilon_{12} &= -M \frac{dI_2}{dt} \\ \varepsilon_{21} &= -M \frac{dI_1}{dt} \end{aligned} \right.$$

2. L 、 M 的计算

3. 磁场能

$$W_m = \frac{1}{2} L I^2$$

$$W_m = \iiint_V \frac{1}{2} \mathbf{B} \mathbf{H} dV = \iiint \frac{\mathbf{B}^2}{2\mu} dV$$

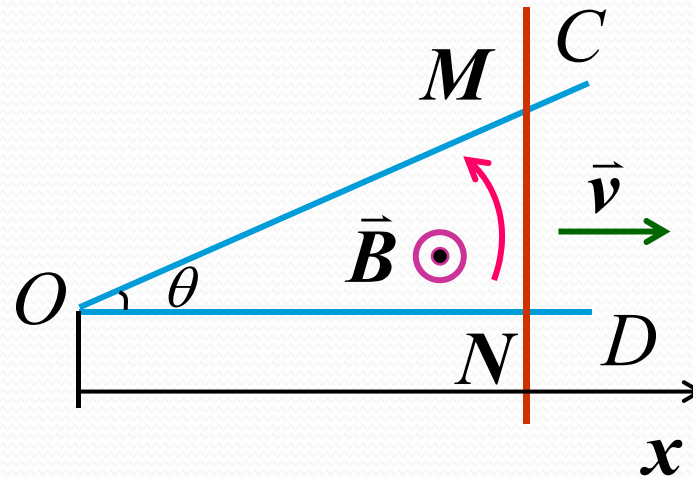
4. 位移电流

$$I_D = \frac{d\varphi_D}{dt} \quad \vec{j}_D = \frac{d\vec{D}}{dt}$$

其中: $\vec{D} = \varepsilon_0 \vec{E}$

例 弯成 θ 角的金属架 COD , 导体棒 MN 垂直 OD 以恒定速度 v 在金属架上向右滑动, 且 $t=0$, $x=0$, 已知磁场的方向垂直纸面向外, 求下列情况中金属架内的 ε_i :

- 1) 磁场 B 分布均匀, 且磁场不随时间变化。
- 2) 非均匀时变磁场, $B=kx\cos\omega t$ 。

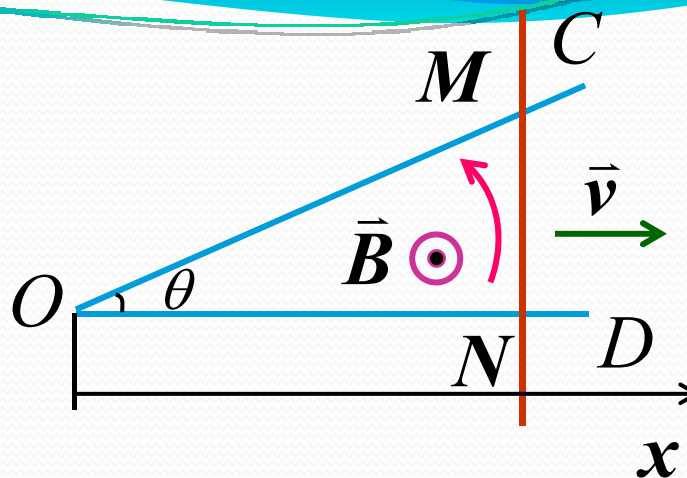


解： 设回路绕向逆时针

1) t 时刻, $x = vt$ 。

$$\begin{aligned}\varphi_m &= \vec{B} \cdot \vec{S} = B \cdot \frac{1}{2} x \cdot x \tan \theta \\ &= \frac{1}{2} B v^2 t^2 \tan \theta.\end{aligned}$$

$$\varepsilon_i = -\frac{d\varphi_m}{dt} = -B v^2 t \cdot \tan \theta < 0$$



方向与绕向相反，
只出现在 MN 上。

此处可直接利用均匀场：

$$\begin{aligned}\varphi_m &= \vec{B} \cdot \vec{S} \quad d\varphi_m = \vec{B} \cdot d\vec{S} + \vec{S} \cdot d\vec{B} \\ \varepsilon_i &= -\frac{d\varphi_m}{dt} = -B \frac{dS}{dt} = -B \frac{d}{dt} \left(\frac{1}{2} x^2 \tan \theta \right) = -B v^2 t \cdot \tan \theta\end{aligned}$$

2) B 不均匀

$$\varphi_m \neq \vec{B} \cdot \vec{S} \quad d\varphi_m = \vec{B} \cdot d\vec{S}$$

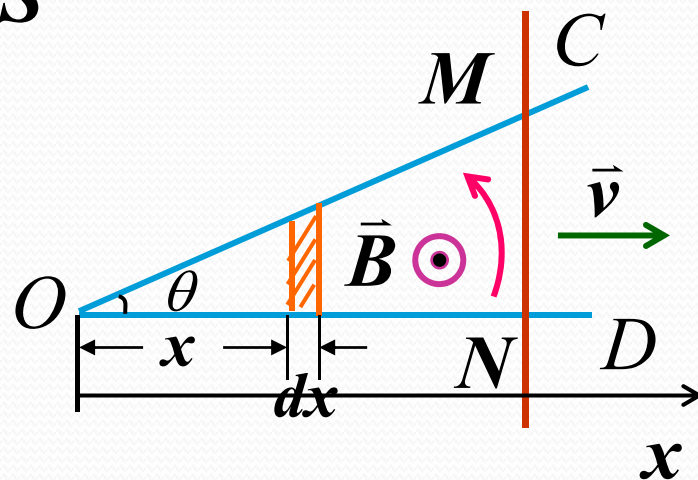
$$\begin{aligned} \varphi_m &= \int \vec{B} \cdot d\vec{S} \\ &= \int_0^x kx \cos \omega t \cdot x \operatorname{tg} \theta \cdot dx \\ &= \frac{1}{3} kx^3 \cos \omega t \cdot \operatorname{tg} \theta \end{aligned}$$

$$\varphi_m(t) = \frac{1}{3} k \operatorname{tg} \theta v^3 t^3 \cos \omega t.$$

$$\varepsilon_i = -\frac{d\varphi_m}{dt} = \frac{1}{3} k \omega \operatorname{tg} \theta \sin \omega t \cdot v^3 t^3 - k \operatorname{tg} \theta \cos \omega t \cdot v^3 t^2$$

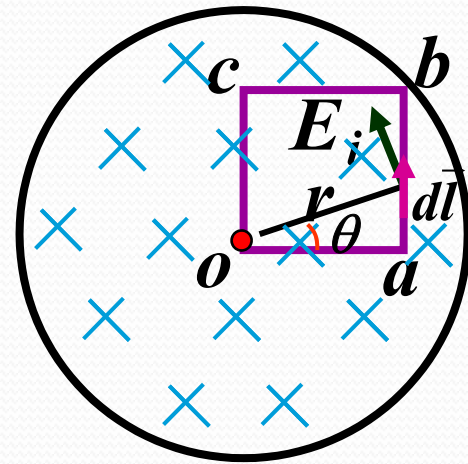
$\varepsilon_i > 0$, 与绕向相同。

$\varepsilon_i < 0$, 与绕向相反。



例 如图所示，有匀强磁场，随时间变化率为 $\frac{dB}{dt}$ ，在其中放入一边长为 l 的正方形导体回路 $oabc$ 。

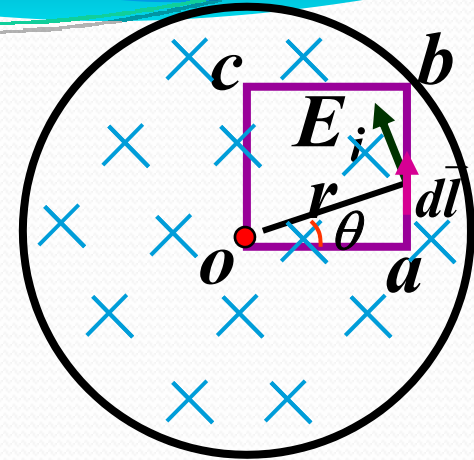
- 求：1) 回路各边的感应电动势；
2) $\varepsilon_{i\text{总}}$ ；
3) 回路内有静电场吗？
若有哪点（ c 与 a ）电势高。



解: 1) $\because oa \perp E_i$
 $oc \perp E_i$ $\therefore \varepsilon_{oa} = \varepsilon_{oc} = 0$

$$\varepsilon_{ab} = \int_a^b \vec{E}_i \cdot d\vec{l} = \int_a^b E \cos \theta dl$$

$$= \int_a^b \frac{r}{2} \frac{dB}{dt} \cos \theta dl$$



$$\varepsilon_i = \int_-^+ \vec{E}_i \cdot d\vec{l}$$

$$E_i = \frac{r}{2} \frac{dB}{dt}$$

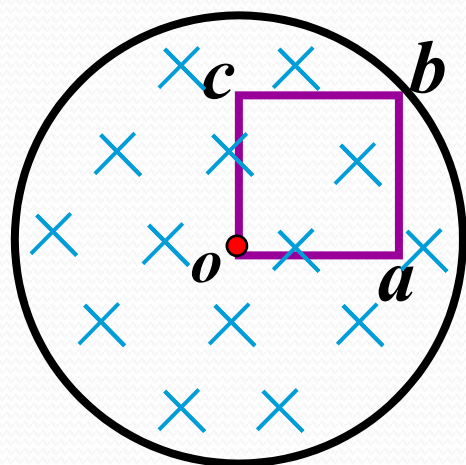
同理: $\varepsilon_{bc} = \frac{1}{2} \frac{dB}{dt} l^2$

2) $\varepsilon_{i\text{总}} = \varepsilon_{ab} + \varepsilon_{bc} = l^2 \frac{dB}{dt}$

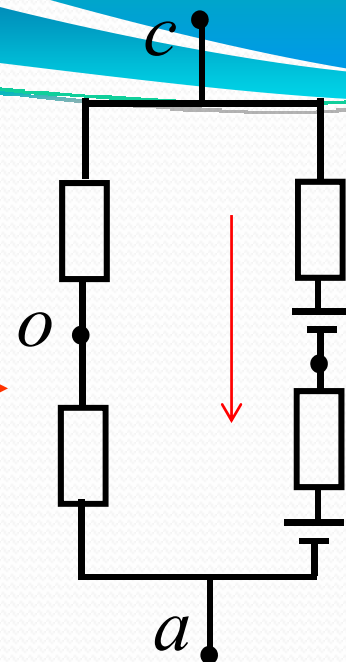
或: $\varepsilon_{i\text{总}} = -\frac{d\varphi_m}{dt} = -\frac{d}{dt}(\vec{B} \cdot \vec{S}) = S \frac{dB}{dt} = l^2 \frac{dB}{dt}$

注: 根据对称性: 1), 2) 的计算可以倒过来进行。

3) 有静电场！在哪里？



等效电路



$$\because \varepsilon_{oa} = \varepsilon_{oc} = 0,$$

$\varepsilon_{ab} = \varepsilon_{bc}$ 会使正电荷在 c 点，聚集而 a 点有负电荷积累

$$U_{ac} = U_a - U_c = \sum \varepsilon_i - \sum I_i R_i = -(\varepsilon_{ab} + \varepsilon_{bc}) - (-2I \times \frac{R}{4})$$

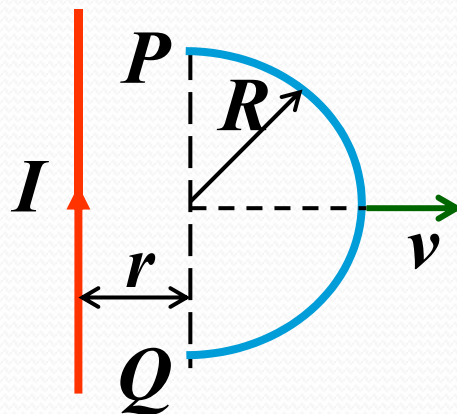
$$= -l^2 \frac{dB}{dt} + \frac{\varepsilon_i}{R} \frac{R}{2} = -\frac{1}{2} l^2 \frac{dB}{dt} < 0$$

$$\therefore U_c > U_a$$

$$\begin{aligned} \text{或: } U_{aoc} = U_a - U_c &= 0 - \sum I_i R_i = -\frac{\varepsilon_i}{R} \times \frac{R}{2} \\ &= -\frac{l^2}{2} \frac{dB}{dt} < 0 \end{aligned}$$

结论一致

例 在真空中，有一无限长直导线电流 I 旁，有一半圆弧导线以 v 向右运动。已知 r , R 。求 E_k , ε_{QP} , P 与 Q 哪点电势高？



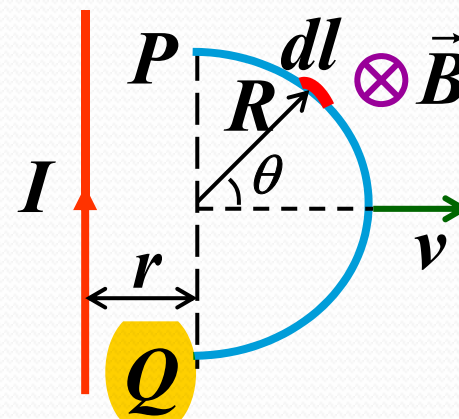
$$\varepsilon_i = \int_L (\vec{v} \times \vec{B}) \cdot d\vec{l}.$$

解：1) 在导线上任意 dl 处的 E_k

距电流为 r' : $r' = r + R \cos \theta$

$$E_k = |\vec{v} \times \vec{B}| = vB = v \frac{\mu_0 I}{2\pi r'} = \frac{\mu_0 I v}{2\pi(r + R \cos \theta)}$$

方向向上



$$\begin{aligned} 2) \quad \varepsilon_{QP} &= \int \vec{E}_k \cdot d\vec{l} = \int \frac{\mu_0 I v}{2\pi(r + R \cos \theta)} \cdot \cos \theta \cdot dl \\ &= \frac{\mu_0 I v}{2} \left(1 - \frac{4r}{\pi \sqrt{r^2 - R^2}} \operatorname{tg}^{-1} \sqrt{\frac{r-R}{r+R}} \right). \end{aligned}$$

$dl = R d\theta$

3) 显然: ε_i 从 $Q \rightarrow P$, $U_P > U_Q$.

能否用直线 \overline{PQ} 来代替 \widehat{PQ} ?

否!

$$\varepsilon_{\overline{PQ}} = \frac{\mu_0 I v}{2\pi r} 2R \neq \varepsilon_{\widehat{PQ}}$$